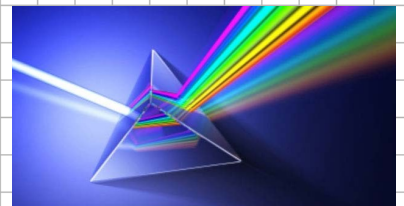


Physik

- untersucht grundlegende Phänomene d. Natur (beschreiben, verstehen, vorhersagen ...)
- befasst sich insbesondere mit Materie und Energie
- und deren Wechselwirkungen in Raum und Zeit



Kinematik

algebraische und geometrische Beschreibung von Bewegungen ohne Ursachen d. Bewegungen in Betracht zu ziehen

Bezugssystem

Koordinatensystem, das stark mit Bezugskörpern der realen Welt verbunden ist, mit einer darin ruhenden Uhr

Def Meter Wegstrecke, die Licht in gewisser Zeit zurücklegt

Def Sekunde Zeit von gewisser Anzahl Schwingungsläufen d. elektromagn. Strahlung aus dem Übergang zw. Hyperfeinstufenübergangs des Grundzustandes von ^{133}Cs

Ort, Geschwindigkeit, Beschleunigung

$$\vec{v} = \dot{\vec{r}} \quad \vec{r}(t_1) = \vec{r}_0 + \int_{t_0}^{t_1} \vec{v}(t) dt$$

$$\vec{a} = \ddot{\vec{r}} = \ddot{\vec{v}} \quad \vec{v}(t_1) = \vec{v}_0 + \int_{t_0}^{t_1} \vec{a}(t) dt$$

Dynamik

Ursachen für Bewegungen (Kräfte)

Inertialsystem

System, in dem sich ein kräftefreier Körper geradlinig gleichförmig bewegt (Bezugssystem, in dem das Trägheitsgesetz gilt)

Newton'sche Gesetze

1. Newton'sches Gesetz (Trägheitsprinzip)

Jeder Körper verharrt im Zustand der Ruhe oder gleichförmig geradliniger Bewegung, solange keine Kraft auf ihn wirkt.

2. Newton'sches Gesetz (Aktionsprinzip)

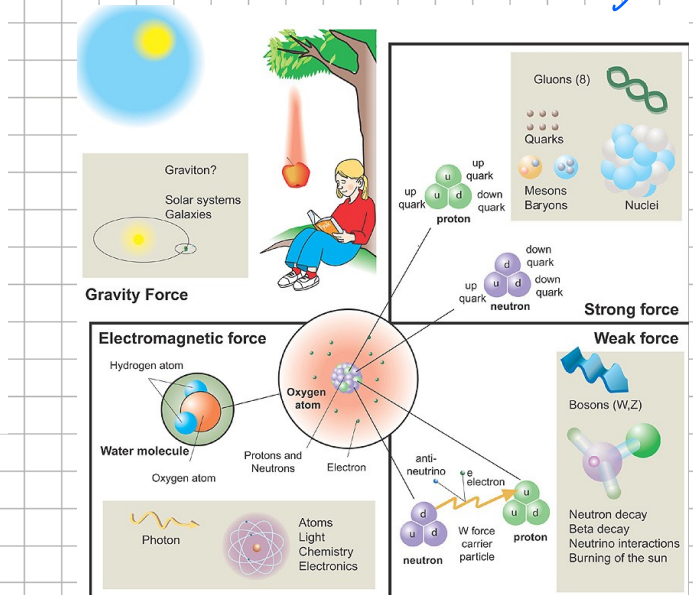
Wirkt auf einen Körper eine Kraft, so wird er in Richtung der Kraft beschleunigt.
Die Beschleunigung ist der Kraft direkt, der Masse des Körpers umgekehrt proportional. ($F = ma$)

3. Newton'sches Gesetz (Reaktionsprinzip)

Besteht zwischen zwei Körpern A und B eine Kraftwirkung, so ist die Kraft, welche von A auf B ausgeübt wird, der Kraft, die B auf A ausübt entgegengesetzt gleich.
(*"Actio = Reactio"*)

Kräfte stammen aus Wechselwirkungen

Fundamentale Wechselwirkungen



Newton'sches Gravitationsgesetz

$$\vec{F} = -G \frac{Mm}{r^2} \hat{e}_r$$

Coulombgesetz

$$\vec{F} = \frac{1}{4\pi\epsilon_0} \frac{Qq}{r^2} \hat{e}_r$$

Hooke'sches Gesetz

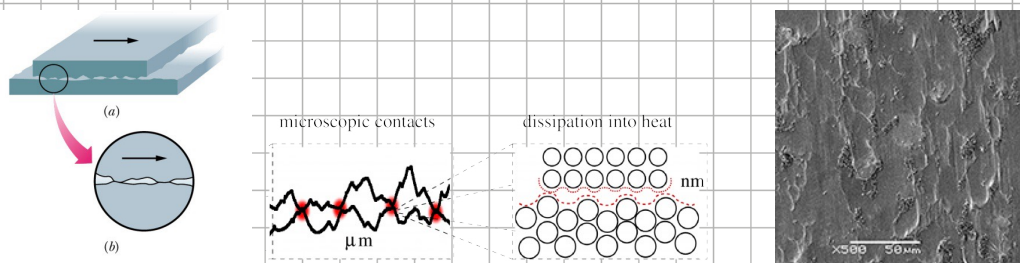
$$\vec{F} = -k \Delta \vec{x}$$

Hafreibung

$$F \leq \mu_H F_N$$

Gleitreibung

$$F = \mu_G F_N$$



Normalkraft

Die Normalkraft ist blichig gesprochen die Kraft, mit der ein Körper auf seine Unterlage drückt. Die Normalkraft steht stets senkrecht auf dieser Unterlage – daher der Name.

Physical origin

Normal force is directly a result of Pauli exclusion principle and not a true force per se: it is a result of the interactions of the electrons at the surfaces of the objects. The atoms in the two surfaces cannot penetrate one another without a large investment of energy because there is no low energy state for which the electron wavefunctions from the two surfaces overlap; thus no microscopic force is needed to prevent this penetration.[3] However these interactions are often modeled as van der Waals force, a force that grows very large very quickly as distance becomes smaller.[4]

On the more macroscopic level, such surfaces can be treated as a single object, and two bodies do not penetrate each other due to the stability of matter, which is again a consequence of Pauli exclusion principle, but also of the fundamental forces of nature: cracks in the bodies do not widen due to electromagnetic forces that create the chemical bonds between the atoms; the atoms themselves do not disintegrate because of the electromagnetic forces between the electrons and the nuclei; and the nuclei do not disintegrate due to the nuclear forces.[3]

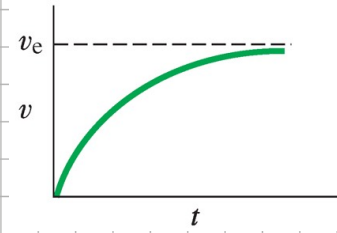
Reibung laminare Strömung Kugel

$$F = 6\pi \cdot \eta \cdot r \cdot v \quad \eta: \text{Viskosität Fluid}, \quad r: \text{Radius Kugel}, \quad v: \text{relative Geschw.}$$

$$v_e = v_e(1 - e^{-\gamma t})$$

$$v_e = \frac{\eta}{\gamma} = \frac{mg}{6\pi\eta r}$$

$$\gamma = \frac{6\pi \cdot \eta \cdot r}{m}$$



Reibung turbulente Strömung

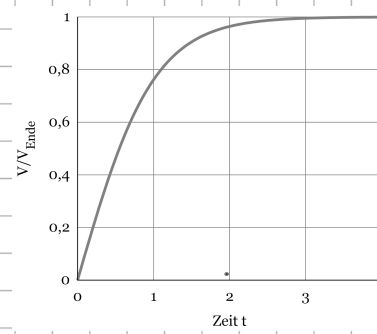
$$F = \frac{1}{2} \cdot \rho \cdot C_w \cdot A \cdot v^2$$

ρ : Dichte Fluid, C_w : Strömungswiderstandskoeff., A : Querschnittsfläche orth. zur Strömung, v : relative Geschw.

	1.32	1.12	0.34	0.24	0.04
C_w					

↳ optimale Form

$$v_e = \sqrt{\frac{2mg}{C_w A \rho}}$$

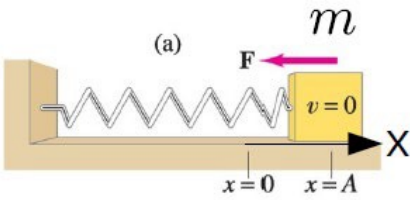


Federschwingungen

$$\sum \vec{F} = m \vec{a}$$

$$-kx = m \ddot{x}$$

$$\ddot{x} + \frac{k}{m} x = 0$$



$$x(t) = x_0 \cos(\omega t + \phi_0)$$

$$\dot{x}(t) = -\omega x_0 \sin(\omega t + \phi_0)$$

$$\ddot{x}(t) = -\omega^2 x_0 \cos(\omega t + \phi_0)$$

$$\omega = \sqrt{\frac{k}{m}}$$

x_0, ϕ_0 Integrationskonstanten
 (\rightarrow Anfangsbedingungen)

$$\omega = 2\pi f \quad [\omega] = \frac{\text{rad}}{\text{s}}$$

$$f = \frac{\omega}{2\pi} \quad [f] = \frac{1}{\text{s}}$$

$$T = \frac{1}{f} = \frac{2\pi}{\omega} \quad [T] = \text{s}$$

Fahrpendel (math. Pendel)

$$\sum \vec{F} = m \vec{a}$$

$$-mg \sin \phi = m \ddot{x}$$

kleine Winkel: $\sin \phi \approx \phi = \frac{x}{L}$

$$-mg \frac{x}{L} = m \ddot{x}$$

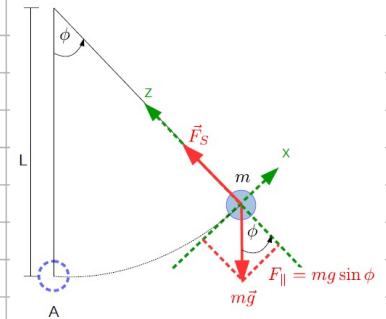
$$\ddot{x} + \frac{g}{L} x = 0$$

$$x(t) = x_0 \cos(\omega t + \phi_0)$$

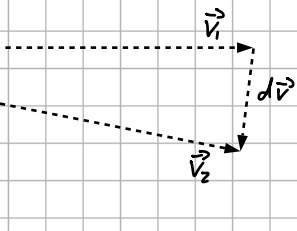
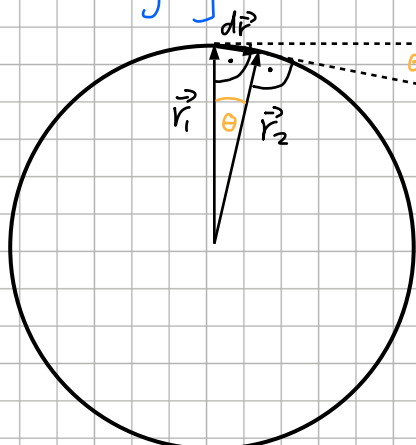
$$\dot{x}(t) = -\omega x_0 \sin(\omega t + \phi_0)$$

$$\ddot{x}(t) = -\omega^2 x_0 \cos(\omega t + \phi_0)$$

$$\omega = \sqrt{\frac{g}{L}}$$



Kreisbewegung



$$\frac{dr}{V} = \frac{dr}{r}$$

$$\frac{dV}{V dt} = \frac{dr}{r dt} \Rightarrow \boxed{\alpha = \frac{V^2}{r}}$$

$$r = |\vec{r}_1| = |\vec{r}_2|$$

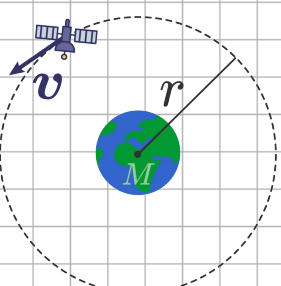
$$V = |\vec{v}_1| = |\vec{v}_2|$$

$$dr = |d\vec{r}|$$

$$dV = |d\vec{v}|$$

Satellit

$$G \frac{mM}{r^2} = m \frac{V^2}{r}$$



Energie

Arbeit

$$W = \int_{x_i}^{x_f} \vec{F}(x) \cdot d\vec{x}, \quad \text{falls } \vec{F} \text{ konstant: } W = \vec{F} \cdot \vec{d} = F d \cos \theta$$

Kinetische Energie

$$E_{kin} = \frac{1}{2} m v^2, \quad W = \Delta E_{kin}$$

Konservative Kraft

verrichtete Arbeit nur von x_i und x_f abhängig, vom Weg unabhängig

→ Feder-, Gravitation-, Coulomb-Kraft sind konservativ

→ nicht konservativ: Reibung, Luftwiderstand

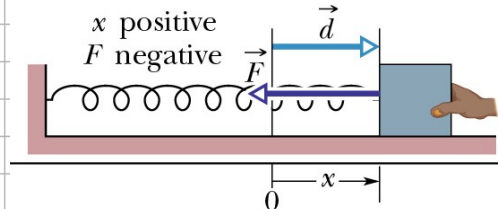
Potentielle Energie

$$\Delta E_{pot} = -W$$

Federkraft

$$W_{x_1 \rightarrow x_2} = \int_{x_1}^{x_2} -k x \, dx = \frac{1}{2} k x_1^2 - \frac{1}{2} k x_2^2$$

$$\Delta E_{pot, x_1 \rightarrow x_2} = -W_{x_1 \rightarrow x_2} = \frac{1}{2} k x_2^2 - \frac{1}{2} k x_1^2$$



Kraft: Gravitation:

$$\vec{F}_{Gravitation} = -G \frac{m \cdot M}{r^2} \vec{e}_r$$

$$W_{1 \rightarrow 2} = \int_{\vec{r}_1}^{\vec{r}_2} \vec{F} \cdot d\vec{s} = -G \cdot m \cdot M \left(\frac{1}{r_2} - \frac{1}{r_1} \right)$$

Coulomb:

$$\vec{F}_{Coulomb} = \frac{1}{4\pi\epsilon_0} \frac{q \cdot Q}{r^2} \vec{e}_r$$

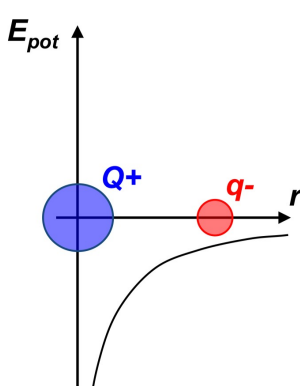
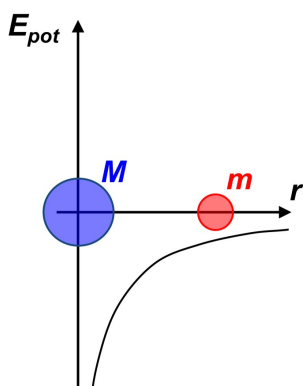
$$W_{1 \rightarrow 2} = \int_{\vec{r}_1}^{\vec{r}_2} \vec{F} \cdot d\vec{s} = \frac{1}{4\pi\epsilon_0} \cdot q \cdot Q \left(\frac{1}{r_2} - \frac{1}{r_1} \right)$$

$$\Delta E_{pot}(r_1 \rightarrow r_2) = -W_{r_1 \rightarrow r_2} \quad \text{und} \quad E_{pot}(r = \infty) = 0$$

Potenzielle Energie:

$$E_{pot}(r) = -G \frac{m \cdot M}{r}$$

$$E_{pot}(r) = \frac{1}{4\pi\epsilon_0} \frac{q \cdot Q}{r}$$



Reibung

$$|F|d = \Delta E_{\text{therm}}$$



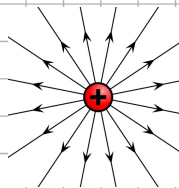
Arbeit und Energie

$$W_{\text{ext}} = \Delta E = \Delta E_{\text{kin}} + \Delta E_{\text{pot}} + \Delta E_{\text{therm}} + \Delta E_{\text{chem}} + \Delta E_{\text{andere}}$$

el. Feld

$$\vec{E} = \frac{\vec{F}}{q}$$

Punktladung:



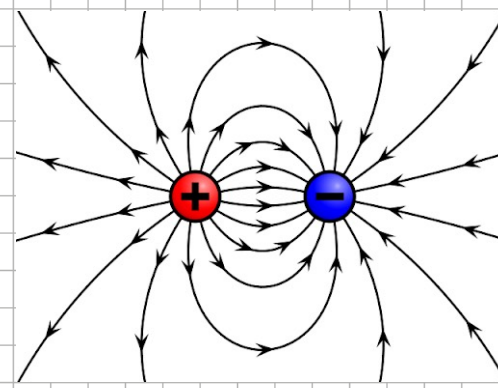
$$\vec{E} = \frac{\vec{F}}{q} = \frac{1}{4\pi\epsilon_0} \frac{Q}{r^2} \vec{e}_r$$

Superpositionsprinzip

$$\vec{E} = \sum \vec{E}_i(\vec{r})$$

Feldlinien

- zeigen in Richtung d. E-Feldvektoren,
- Dichte d. Feldlinien \propto Betrag d. E-Feldes
- beginnen und enden immer in Ladungen
- von $+$ zu $-$
- kreuzen s.l. nicht



el. Potenzial

$$\varphi = \frac{E_{\text{pot}}}{q} \quad [v] = V = \frac{1}{C}$$

$$\varphi(\vec{r}) = - \int_{BZ}^{\vec{r}} \vec{E} \cdot d\vec{r}$$

$$\Delta \varphi = \varphi_2 - \varphi_1 = - \int_{\vec{r}_1}^{\vec{r}_2} \vec{E} \cdot d\vec{r}$$

Punktladung:

$$\phi = \frac{1}{4\pi\epsilon_0 r} Q \quad \text{wenn } Q > 0$$

$$\phi = \frac{1}{4\pi\epsilon_0 r} Q \quad \text{wenn } Q < 0$$

$$\begin{aligned} \varphi(\vec{r}') &= - \int_{\infty}^{\vec{r}'} \vec{E} \cdot d\vec{r} \\ &= - \int_{\infty}^{\vec{r}'} \frac{1}{4\pi\epsilon_0} \frac{Q}{r^2} \vec{e}_r \cdot d\vec{r} \\ &= \int_{\infty}^{\vec{r}'} - \frac{1}{4\pi\epsilon_0} \frac{Q}{r^2} dr \\ &= \frac{Q}{4\pi\epsilon_0} \int_{\infty}^{\vec{r}'} - \frac{1}{r^2} dr \\ &= \frac{Q}{4\pi\epsilon_0} \frac{1}{\vec{r}'}. \end{aligned}$$

el. Spannung

$$U = -\Delta \varphi = \varphi_1 - \varphi_2 = \int_{\vec{r}_1}^{\vec{r}_2} \vec{E} \cdot d\vec{r}$$

Punktladung Formeln

	Systemgrösse		Zugeh. Quellengrösse	
Elektrostatik	Kraft $\vec{F} = q\vec{E}$	$\vec{F} = \frac{1}{4\pi\epsilon_0} \frac{qQ}{r^2} \vec{e}_r$	Elektrisches Feld, Kugel	$\vec{E} = \frac{1}{4\pi\epsilon_0} \frac{Q}{r^2} \vec{e}_r$
	Potenzielle Energie $V = q\varphi$	$V(\vec{r}') = - \int_{BZ}^{\vec{r}'} q\vec{E} \cdot d\vec{r}$	Potenzial, allgemein	$\varphi(\vec{r}') = - \int_{BZ}^{\vec{r}'} \vec{E} \cdot d\vec{r}$
	Potenzielle Energie 2 Kugelladungen	$V(r) = \frac{1}{4\pi\epsilon_0} \frac{qQ}{r}$	Potenzial, Kugel	$\varphi(r) = \frac{1}{4\pi\epsilon_0} \frac{Q}{r}$

Leistung

$$P = \frac{dW}{dt} \text{ bzw. } P = \frac{dE}{dt} \quad [P] = W = \frac{J}{s}$$

Rate der E-Übertragung bzw. der Arbeitsverrichtung

Falls $F = \text{const}$

$$P = \frac{dW}{dt} = \frac{d}{dt} (\vec{F} \cdot \vec{x}) = \vec{F} \cdot \frac{d}{dt} \vec{x} = \vec{F} \cdot \vec{v}$$

Wirkungsgrad

$$\eta = \frac{P_{\text{zu}}}{P_{\text{Eigang}}}$$

Impuls

Teilchensystem

$$\vec{T}_i = \vec{F}_{ai} + \sum_{j \neq i} \vec{F}_{ji}$$

$$\sum \vec{F}_i = \sum \vec{F}_{ai} = \vec{F}_a$$

$$\vec{T}_a = \sum \vec{F}_{ai} = \sum m_i \ddot{\vec{r}}_i$$

$$(\vec{F}_{ji} = -\vec{F}_{ij})$$

$$(\vec{F}_i = m_i \ddot{\vec{r}}_i)$$

$$\vec{T}_a = M \vec{R}$$

$$\Rightarrow \vec{R} = \frac{1}{M} \sum m_i \ddot{\vec{r}}_i$$

$$\Rightarrow \vec{R} = \frac{1}{M} \sum m_i \ddot{\vec{r}}_i \quad \text{Massenmittelpunkt}$$

Schwerpunkttsatz

Massenmittelpunkt eines Systems aus vielen Teilchen bewegt sich so, als ob gesamte träge Masse $M = \sum m_i$ des Systems in ihm befinden würde und Summe aller äußeren Kräfte in ihm angreifen würde

Impuls

$$\vec{P} = m \vec{v}$$

$$\vec{F} = m \vec{a} = m \frac{d \vec{v}}{dt} = \frac{d}{dt}(m \vec{v}) = \frac{d \vec{P}}{dt}$$

Impulserhaltungssatz

Wenn die resultierende Kraft auf ein System null ist, bleibt der Gesamtimpuls des Systems erhalten.

Stöße

Abgeschlossenes System

zhaw
School of Engineering
Zürcher Hochschule
ZHAW Zürcher Hochschule für Angewandte
Mathematik und Physik

Abgeschlossenes System (keine äußere Kräfte)

- Gesamtimpuls bleibt konstant (auch bei Stößen)
- Innerhalb des Systems können Impulse ausgetauscht werden
- Bei **elastischen** Stößen bleibt die gesamte kinetische Energie erhalten
- Bei **inelastischen** Stößen bleibt die kinetische Energie nicht erhalten
- Bei **vollständig inelastischen** Stößen bewegen sich die beiden stossenden Körper nach dem Stoß gemeinsam weiter (z.B. weil sie aneinanderhaften)

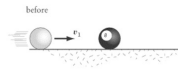
Vollkommen elastische Stöße

zhaw
School of Engineering
Zürcher Hochschule
ZHAW Zürcher Hochschule für Angewandte
Mathematik und Physik

Impuls:

$$\text{Vor dem Stoß} \quad m_1 \vec{v}_1 + m_2 \vec{v}_2 = m_1 \vec{v}'_1 + m_2 \vec{v}'_2$$

$$\text{Energie:} \quad \frac{1}{2} m_1 v_1^2 + \frac{1}{2} m_2 v_2^2 = \frac{1}{2} m_1 v'_1^2 + \frac{1}{2} m_2 v'_2^2$$



$$\vec{v}'_1 = \frac{m_1 - m_2}{m_1 + m_2} \vec{v}_1 + \frac{2m_2}{m_1 + m_2} \vec{v}_2$$

$$\vec{v}'_2 = \frac{2m_1}{m_1 + m_2} \vec{v}_1 + \frac{m_2 - m_1}{m_1 + m_2} \vec{v}_2$$

Vollkommen inelastische Stöße

zhaw
School of Engineering
Zürcher Hochschule
ZHAW Zürcher Hochschule für Angewandte
Mathematik und Physik

Impuls:

$$\text{Vor dem Stoß} \quad m_1 \vec{v}_1 + m_2 \vec{v}_2 = m_1 \vec{v}'_1 + m_2 \vec{v}'_2$$

$$\text{Nach dem Stoß} \quad \vec{v}_s = \frac{m_1 \vec{v}_1 + m_2 \vec{v}_2}{m_1 + m_2}$$

Energie wird nicht erhalten (Verlust an mechanischer Energie)



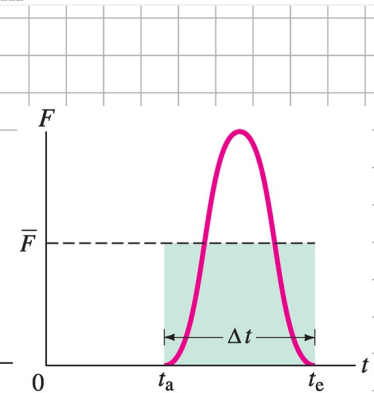
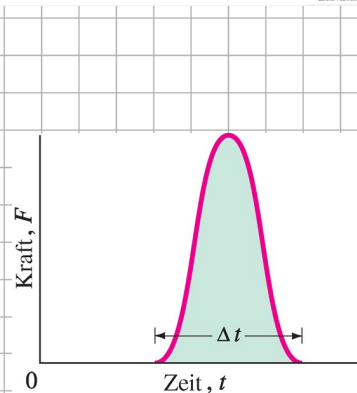
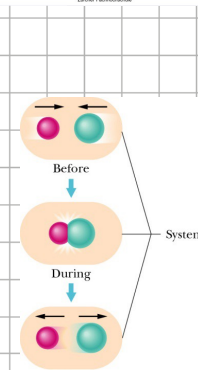
Nach dem Stoß bewegen sich beide Körper gemeinsam (d.h. mit der gleichen Geschwindigkeit)

Kraftstoß

$$F = \frac{dp}{dt}$$

$$dp = F dt$$

$$\Delta p = \int F(t) dt = F \Delta t$$



Rotation

$$\begin{aligned}s &= \theta \cdot R \\v &= \omega \cdot R \\a &= \alpha \cdot R\end{aligned}$$

$$\begin{aligned}\omega &= \dot{\theta} \\a &= \ddot{\omega} = \ddot{\theta}\end{aligned}$$

$$V_{Kugel} = \frac{4}{3} \pi r^3$$

$$A_{Kugel} = 4 \pi r^2$$

Kreisbewegung ($\omega = \text{const.}$)

$$\omega = \text{const.} \Rightarrow \theta(t) = \omega \cdot t, \quad \omega = \frac{2\pi}{T}$$

$$\vec{r}(t) = \begin{pmatrix} r \cos(\omega t) \\ r \sin(\omega t) \end{pmatrix}$$

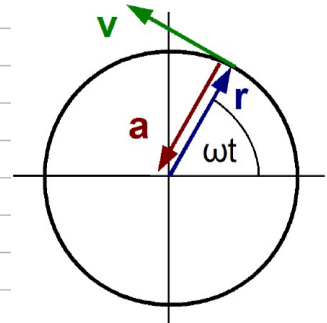
$$\vec{v}(t) = \begin{pmatrix} -r\omega \sin(\omega t) \\ r\omega \cos(\omega t) \end{pmatrix}$$

$$\vec{a}(t) = \begin{pmatrix} -r\omega^2 \cos(\omega t) \\ -r\omega^2 \sin(\omega t) \end{pmatrix}$$

$$r = |\vec{r}(t)| = r$$

$$v = |\vec{v}(t)| = r\omega$$

$$a = |\vec{a}(t)| = r\omega^2 = \frac{v^2}{r}$$



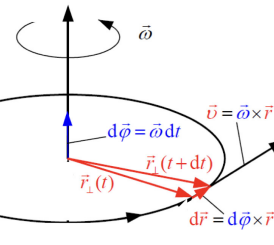
Kinematik

Skalare Angabe

$$\text{Def. Winkelgeschwindigkeit: } \omega = \frac{d\varphi}{dt}$$

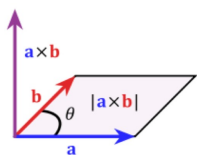
$$\text{Geom. Bogenlänge: } dr = d\varphi \cdot r$$

Vektorangabe Bahn- und Winkel-Größen



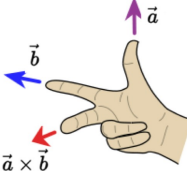
$$v = \omega \cdot r$$

$$\vec{v} = \vec{\omega} \times \vec{r}$$



$$|\vec{a} \times \vec{b}| = |\vec{a}| |\vec{b}| \sin \theta$$

$$\vec{a} \times \vec{b} = (|\vec{a}| |\vec{b}| \sin \theta) \vec{n}$$



$$\vec{a} \times \vec{b} = \begin{pmatrix} a_1 \\ a_2 \\ a_3 \end{pmatrix} \times \begin{pmatrix} b_1 \\ b_2 \\ b_3 \end{pmatrix} = \begin{pmatrix} a_2 b_3 - a_3 b_2 \\ a_3 b_1 - a_1 b_3 \\ a_1 b_2 - a_2 b_1 \end{pmatrix}$$



Translationsbewegung
mit $\vec{a} = \overrightarrow{\text{konst.}}$

$$\vec{v}(t) = \vec{v}_o + \vec{a}t$$

$$\vec{r}(t) = \vec{r}_o + \vec{v}_o t + \frac{1}{2} \vec{a} t^2$$

Drehbewegung
mit $\vec{\alpha} = \overrightarrow{\text{konst.}}$

$$\vec{\omega}(t) = \vec{\omega}_o + \vec{\alpha}t$$

$$\vec{\theta}(t) = \vec{\theta}_o + \vec{\omega}_o t + \frac{1}{2} \vec{\alpha} t^2$$

Entlang x-Achse:

$$v_x(t) = v_{xo} + a_x t$$

$$x(t) = x_o + v_{xo} t + \frac{1}{2} a_x t^2$$

$$v_x(x) = \sqrt{v_{xo}^2 + 2a_x(x - x_o)}$$

Um x-Achse:

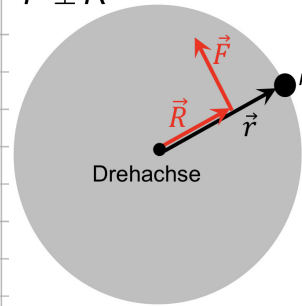
$$\omega_x(t) = \omega_{xo} + \alpha_x t$$

$$\theta_x(t) = \theta_o + \omega_{xo} t + \frac{1}{2} \alpha_x t^2$$

Dynamik

Die Bahnbewegung des MMPs wird durch die Kraft bestimmt
=> Welche Grösse „steuert“ Drehbewegung?

$$\vec{F} \perp \vec{R}$$



Die verrichtete Arbeit beträgt: $W = \vec{F}_\perp \cdot \vec{s}$

$$= \vec{F}_\perp R \cdot \varphi$$

Arbeit => kinetische Energie:

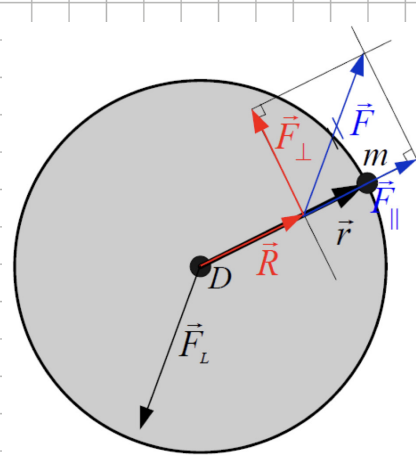
$$\vec{F}_\perp R \cdot \varphi = \frac{m}{2} v^2 = \frac{m}{2} (r\omega)^2$$

Ableitung nach der zeit:

$$\vec{F}_\perp R \cdot \omega = mr^2 \omega \alpha$$

$$d\varphi/dt = \omega \text{ und } d\omega/dt = \alpha$$

$$\Rightarrow \vec{F}_\perp R = mr^2 \alpha$$



Falls \vec{F} nicht \perp zur \vec{R}

\Rightarrow Kräftezerlegung in \vec{F}_\perp und \vec{F}_\parallel
Nur \vec{F}_\perp verrichtet Arbeit

\Rightarrow Die Ursache für Rotation ist:

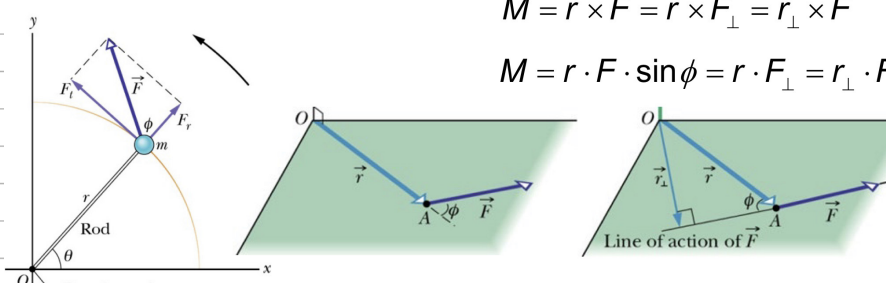
$$\vec{F}_\perp \cdot \vec{R} = F \cdot \sin \phi \cdot R = |\vec{R} \times \vec{F}|$$

$$\boxed{\vec{R} \times \vec{F} = \vec{M} = \text{Drehmoment}}$$

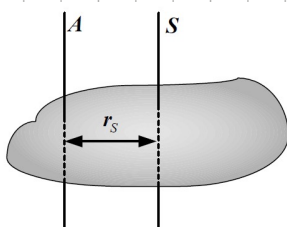
$$\boxed{\vec{M} = \vec{R} \times \vec{F} = mr^2 \cdot \alpha = J \cdot \ddot{\alpha}}$$

falls nur eine Punktmasse

\vec{M} Drehmoment, $\vec{M} = \vec{r} \times \vec{F}$,
 J Trägheitsmoment des starren Körpers bezüglich der Drehachse,
 $\ddot{\alpha}$ Winkelbeschleunigung.



Satz von Steiner

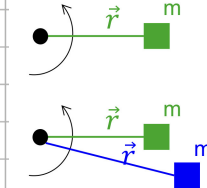


$$J_A = mr_S^2 + J_S$$

J_S : Trägheitsmoment bezüglich einer Achse durch den Schwerpunkt

J_A : Trägheitsmoment bezüglich einer parallelen Achse mit Abstand r_S

Übergang: Trägheitsmoment eines Massenpunktes zum Trägheitsmoment eines starren Körpers



$$J_A = mr^2$$

$$J_A = mr^2 + mr^2$$

$$J_A = \sum mr^2 = \int r^2 dm$$

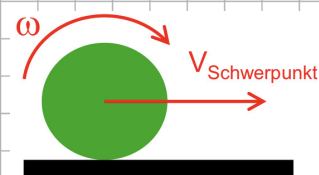
$$J_A = \iiint_V r^2 \rho dV$$

Körper	Ort der Drehachse	Trägheitsmoment
Dünner Reifen mit Radius R_0	Durch den Mittelpunkt	MR_0^2
Dünner Reifen mit Radius R_0 und Breite b	Durch zentralen Durchmesser	$\frac{1}{2} MR_0^2 + \frac{1}{12} Mb^2$
Massiver Zylinder mit Radius R_0	Durch den Mittelpunkt	$\frac{1}{2} MR_0^2$
Hohlyzylinder mit Innenradius R_1 und Außenradius R_2	Durch den Mittelpunkt	$\frac{1}{2} M(R_1^2 + R_2^2)$
Homogene Kugel mit Radius r_0	Durch den Mittelpunkt	$\frac{2}{5} Mr_0^2$
Lange, homogene Stange mit l Länge	Durch den Mittelpunkt	$\frac{1}{12} Ml^2$
Lange, homogene Stange mit l Länge	Durch ein Ende	$\frac{1}{3} Ml^2$
Rechteckige dünne Platte mit Länge l und Breite b	Durch den Mittelpunkt	$\frac{1}{12} M(l^2 + b^2)$

Rollbewegung

$$v_{\text{Berührungs punkt}} = v_{\text{Schwerpunkt}} - \omega R = v_{\text{Boden}} = 0$$

$$\Rightarrow v_{\text{Schwerpunkt}} = \omega R$$

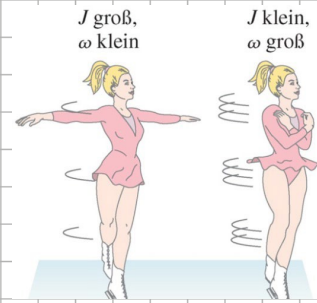


Drehimpuls

$$\vec{L} = J \vec{\omega}$$

$$\text{falls } \sum \vec{M} = \vec{0} \Rightarrow \vec{L} = J \vec{\omega} = \text{const}$$

falls innere Kräfte $\Rightarrow J$ und $\vec{\omega}$ ändern sich



Kinetische Energie

$$\text{Massenpunkt: } E_{\text{kin}} = \frac{1}{2} m v^2 = \frac{1}{2} m r^2 \omega^2$$

$$\text{starrer Körper: } E_{\text{kin}} = \frac{1}{2} m v^2 = \sum \frac{1}{2} m r^2 \omega^2 = \frac{1}{2} \omega^2 \sum m r^2 = \frac{1}{2} J \omega^2$$

$$\text{Energieerhaltung: } E_{\text{ges}} = E_{\text{kin, Translation}} + E_{\text{kin, Rotation}} + E_{\text{pot}} = \text{constant}$$

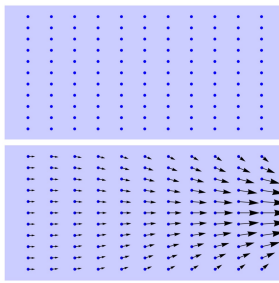
Zusammenfassung

Drehbewegung		Lineare Bewegung	
Drehwinkel	$\Delta\theta$	Verschiebung	Δx
Winkelgeschwindigkeit	$\omega = \frac{d\theta}{dt}$	Geschwindigkeit	$v = \frac{dx}{dt}$
Winkelbeschleunigung	$\alpha = \frac{d\omega}{dt} = \frac{d^2\theta}{dt^2}$	Beschleunigung	$a = \frac{dv}{dt} = \frac{d^2x}{dt^2}$
Gleichungen für den Fall konstanter Winkelbeschleunigung	$\omega = \omega_0 + \alpha t$ $\Delta\theta = \langle \omega \rangle \Delta t$ $\langle \omega \rangle = \frac{1}{2} (\omega_0 + \omega)$ $\theta = \theta_0 + \omega_0 t + \frac{1}{2} \alpha t^2$ $\omega^2 = \omega_0^2 + 2 \alpha \Delta\theta$	Gleichungen für den Fall konstanter Beschleunigung	$v = v_0 + at$ $\Delta x = \langle v \rangle \Delta t$ $\langle v \rangle = \frac{1}{2} (v_0 + v)$ $x = x_0 + v_0 t + \frac{1}{2} at^2$ $v^2 = v_0^2 + 2 a \Delta x$
Drehmoment	M	Kraft	F
Trägheitsmoment	I	Masse	m
Arbeit	$dW = M d\theta$	Arbeit	$dW = F ds$
Kinetische Energie	$E_{\text{kin}} = \frac{1}{2} I \omega^2$	Kinetische Energie	$E_{\text{kin}} = \frac{1}{2} m v^2$
Leistung	$P = M \omega$	Leistung	$P = F v$
Drehimpuls	$L = I \omega$	Impuls	$p = m v$
Zweites Newton'sches Axiom	$M_{\text{ext}} = I \alpha = \frac{dL}{dt}$	Zweites Newton'sches Axiom	$F_{\text{ext}} = m a = \frac{dp}{dt}$

Fluidodynamik

Strömungen

Fluid besteht aus sehr vielen Massenpunkten



Jeder Massenpunkt mit Koordinate $\vec{x}(t)$ hat zu jedem Zeitpunkt eine Geschwindigkeit $\vec{v}(\vec{x}, t)$ (Vektorfeld)

Strömung

Volumenstromstärke I_v : fließendes Volumen durch einen Querschnitt pro Zeit, $I_v = dV / dt \Rightarrow m^3$ pro Sekunde

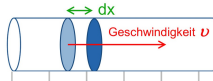
Massenstromstärke I_m : fließende Masse durch einen Querschnitt pro Zeit, $I_m = dm / dt \Rightarrow \text{kg}$ pro Sekunde

Massenstromdichte j_m : Massenstrom pro Fläche = fließende Masse durch einen Querschnitt pro Zeit pro Fläche,
=> kg pro Sekunde pro m^2 ($\Rightarrow \text{kg/(s\cdot m}^2\text{)}$)

$$j_m = dm / (dt \cdot dA) = \rho \cdot dV / (dt \cdot dA) = \rho \cdot v \cdot dA / (dt \cdot dA) = \rho \cdot v$$

dV Volumen die durch den Querschnitt dA innerhalb die Zeit dt fließt: $dV = dx \cdot dA = v \cdot dt \cdot dA$

$$V = \frac{dm}{dt \cdot dA \cdot \rho}$$

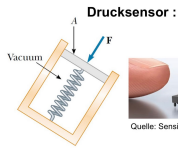


Druckgrößen

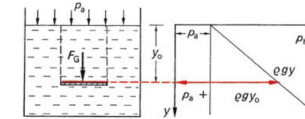
$$p = \frac{F}{A}$$

$$[p] = Pa = \frac{N}{m^2} \left(= \frac{J}{m^3} \text{ Energiedichte} \right)$$

$$1 \text{ bar} = 10^5 \text{ Pa}$$



Hydrostatischer Druck = Summe von äußerem Druck p_a und Schweredruck



Bernoulli'sche Gleichung:

$$p_1 + \frac{\rho}{2} v_1^2 + \rho \cdot gh_1 = p_2 + \frac{\rho}{2} v_2^2 + \rho \cdot gh_2 = p_0 = \text{const.}$$

p_1 statischer Druck,

$\frac{\rho}{2} v^2$ Staudruck oder dynamischer Druck,

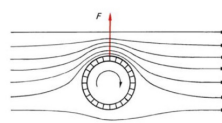
$\rho \cdot gh$ pot. Energiedichte

(= - Schweredruck falls Oberfläche bei $z=0$)

Entlang einer Stromlinie ist die Summe aus statischem, dynamischem und Schweredruck konstant und gleich dem Gesamtdruck p_0 .

Anwendung der Bernoullischen Gl.

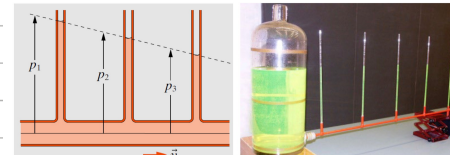
MAGNUS-EFFEKT:



Der Flettner-Rotor



Reale Flüssigkeiten und Gase



Druckabfall beim Strömen => innere Reibung.

Annahme: Ideal Fluide

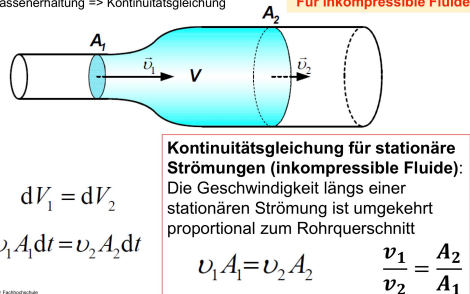
Inkompressible Fluide => Dichte = konstant

Gase unter Normalbedingungen (ca. $25^\circ\text{C}=298\text{K}$ und $1\text{bar}=10^5 \text{ Pa}$) bis zu etwa einem Drittel der Schallgeschwindigkeit können auch als inkompressibel betrachtet werden.

Ideale Fluide => Keine innere Reibung zwischen den Flüssigkeitsteilchen.

Kontinuitätsgleichung

Massenerhaltung => Kontinuitätsgleichung



Kontinuitätsgleichung für stationäre Strömungen (inkompressible Fluide): Die Geschwindigkeit längs einer stationären Strömung ist umgekehrt proportional zum Rohrquerschnitt

$$v_1 A_1 = v_2 A_2 \quad \frac{v_1}{v_2} = \frac{A_2}{A_1}$$

Archimedisches Prinzip

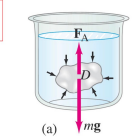
Die Auftriebskraft, die ein Körper, der in ein Fluid eingetaucht ist, erfährt, ist gleich der Gewichtskraft des durch diesen Körper verdrängten Fluids.

$$\text{Auftriebskraft } F_A = \rho_{\text{Fluid}} V_{\text{verd}} g = g m_{\text{verd}}$$

ρ_{Fluid} Dichte der Flüssigkeit oder des Gases

V_{verd} Volumen des verdrängten Fluids

m_{verd} Masse der verdrängten Flüssigkeit



Statischer Druck:

nichtdynamische Druck, der nicht durch die Last des Eigengewichtes des Fluids auf die darunter liegenden Schichten zustande kommt.

- Eingeschlossenes Gas (ρ sehr klein): statische Druck = Gasdruck durch thermische Bewegung der Gasteilchen.
- Flüssigkeit: statische Druck = äußerer Luftdruck (im gesamten Volumen, unabhängig von der Höhe)

Schweredruck:

Druck des Eigengewichtes einer Fluidsäule auf die darunter gelegene Fluidschicht.

$$\text{Schweredruck} = \rho \cdot g h$$

(in 10 m Wassertiefe => 1 bar (10^5 Pa))

$$= \text{Dichte der potentiellen Energie } dE_{\text{pot}} / dV = d(mgh) / dV = dm / dv \cdot mg = \rho \cdot g h$$

Dynamischer Druck (Staudruck):

= $\frac{1}{2} \rho \cdot v^2$ repräsentiert die kinetische Energiedichte.

Reale Flüssigkeiten und Gase

Mit innerer Reibung

- Reibung => Kräfte zwischen den Flüssigkeitsteilchen => Stöße zwischen Moleküle => Teil der E_{kin} des Fluids wird in Energie der ungeordneten Teilchenbewegung umgewandelt.
- Um die Strömung aufrecht zu erhalten => muss an ihr ständig Arbeit verrichtet werden.
- Strömungseigenschaften von viskosen (d.h. Reibungsbehafteten) Fluiden hängen von Strömungsgeschwindigkeit ab.
- Kleine Geschwindigkeit**
 - > Stromlinien parallel zu Wänden
 - > laminare Strömungen (die „Schichtung“ bleibt erhalten).
- Größere Geschwindigkeit**
 - > Turbulenzen (keine „Schichtung“ mehr)

Reibungsgesetz: laminare Strömung

Zugkraft F um eine ebene Platte parallel zur Fluidoberfläche mit Geschwindigkeit v zu bewegen:

$$F \sim A \frac{v}{x}$$

Kraft um Geschwindigkeitsunterschied zwischen Fluidschichten aufrecht zu halten:

$$\eta : \text{dynamische Viskosität} \quad F = \eta A \frac{dv}{dx}$$

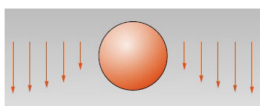
In einer Entfernung D von der Oberfläche, wird die Fluide fast nicht mehr gebremst. Diese Grenzschichtdicke D heisst die Prandtl'sche Grenzschicht:

$$D = \sqrt{\frac{2\eta l}{\rho v}}$$

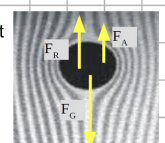
Zürcher Fachhochschule

Stokes'sches Reibungsgesetz

Stokes'sches Reibungsgesetz
=> Kraft auf laminar umströmte Kugel: $F_R = -6\pi\eta rv$



Geschwindigkeitsprofil um eine Kugel, die von einer viskosen Flüssigkeit laminar umströmt wird.



Um die **dynamische Viskosität** einer Flüssigkeit zu bestimmen, lässt man Kugeln in dieser Flüssigkeit sinken. Für die laminare Umströmung einer Kugel gilt das Stokes'sche Gesetz

$$\vec{F}_{\text{Res}} = \vec{F}_G + \vec{F}_A + \vec{F}_R = \frac{4\pi}{3} r^3 g (\rho_{\text{Stahl}} - \rho_{\text{Oel}}) - 6\pi\eta r v$$

Die Kugel führt zunächst eine beschleunigte Bewegung aus, dann fällt sie mit **konstanter Geschwindigkeit**:

$$0 = \frac{4\pi}{3} r^3 g (\rho_{\text{Stahl}} - \rho_{\text{Oel}}) - 6\pi\eta r v \Rightarrow \eta = \frac{4\pi/3 r^3 g (\rho_{\text{Stahl}} - \rho_{\text{Oel}})}{6\pi r} \frac{1}{v}$$

Umströmen von Körpern, reibungsfrei

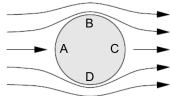
Punkt A: Strömung direkt auf die Kugel => Strömungsgeschwindigkeit v
=> statische Druck maximal.

Punkt C: Strömungsgeschwindigkeit=0 (ohne Reibung !)

Punkten B und D: Geschwindigkeit maximal => statische Druck minimal.

Druckdifferenz: Flüssigkeitsteilchen von A nach B (bzw. D) beschleunigt
Zunehmende Druckkraft: von B (bzw. D) auf C Teilchen abgebremst,

=> Geschwindigkeit im Punkt C wieder Null



Die gesamte Widerstandskraft ergibt sich als Summe aus Reibungskraft und Druckwiderstandskraft:

Strömungswiderstand:

Strömungswiderstand = Druckwiderstand und Reibungskraft

$$F_W = c_W \frac{\rho}{2} v^2 \cdot A$$

F_W Strömungswiderstand,

c_W Widerstandsbeiwert,

ρ Dichte des Fluids,

v Strömungsgeschwindigkeit,

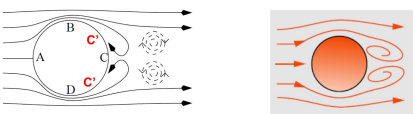
A Querschnittsfläche des Hindernisses.

Stromlinienprofil	0.06
Tragfläche mit gewölbter Unterseite	0.1
Tragfläche mit gerader Unterseite	0.2
Kugel	0.4
Halbkugel	0.8
Scheibe	1.2

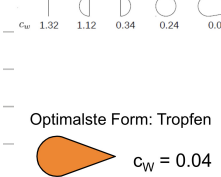
Umströmen von Körpern, mit Reibung

Mit Reibungkräften wird ein Teil der Energie durch Reibung verloren
=> Flüssigkeitsteilchen kommen am Punkt C' (vor Punkt C) zur Ruhe

- Unterdruck am Punkt C
- Teilchen werden auf den Körper zurückgezogen
- Wirbelbildung,



drag coefficient

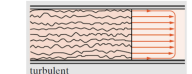
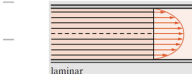


Zürcher Fachhochschule

Reynold'sche Zahl

Umschlag in Turbulenz: Wenn die Strömung die kritische Reynold Zahl $Re = \frac{\rho l v}{\eta}$ überschreitet:

laminare Strömung => turbulente Strömung (mit stark erhöhtem Widerstand)

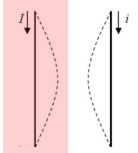


Für eine Kugel $l = 2r$ (Durchmesser): Strömung laminar wenn $Re << 100$
Für ein Rohr $l = 2r$ (Durchmesser): Strömung laminar für $Re < 2000$

Magnetfeld

Kraft zwischen stromführenden Leiter

Stromführende Leiter



$$F = \mu_0 \frac{I \cdot i}{2\pi r} l = B \cdot i \cdot l$$

$$B = \mu_0 \frac{I}{2\pi r}$$

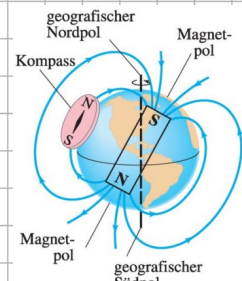
B magnetische Flussdichte,
 μ_0 magnetische Feldkonstante
 I Strom durch den Leiter,
 r Abstand vom Leiter.

$$\mu_0 = 4\pi \cdot 10^{-7} \text{ Vs/Am} = 1,257 \cdot 10^{-6} \text{ Vs/Am}$$

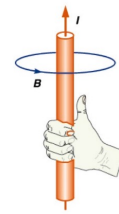
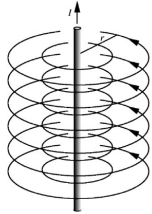
Elektrostatik:

$$\vec{F} = \frac{1}{4\pi\epsilon_0} \frac{qQ}{r^2} \vec{e}_r$$

$$\vec{F} = q \cdot \vec{E}$$



Struktur Magnetfeld am stromführenden Leiter



Ursache von Magnetfeldern sind elektrische Ströme.

Magnetfeldlinien sind geschlossene Linien, welche die Ströme einschliessen.

Die magnetische Flussdichte B (alte Bez.: magnetische Induktion) ist unser Mass für die Stärke des magnetischen Feldes.

SI-Einheit. Die SI-Einheit der magnetischen Flussdichte ist Tesla (T)

$$[B] = [\mu_0] \cdot \frac{[A]}{[m]} = \frac{\text{Vs}}{\text{Am m}} = \frac{\text{Vs}}{\text{m}^2} = \text{T}$$

Ampèresches Gesetz

$$\oint_C \vec{B} \cdot d\vec{s} = \mu_0 I_{\text{encl}}$$

I_{encl} : Netto Strom durch eine von S begrenzte Fläche

μ_0 : Magnetische Feldkonstante

$$\mu_0 = 4\pi \cdot 10^{-7} \text{ T m / A}$$

Das Integral der magnetischen Flussdichte längs eines geschlossenen Weges ist (bis auf eine Proportionalitätskonstante μ_0) gleich dem vom Weg umschlossenen Gesamtstrom I_{encl}

Magnetfeld eines geraden Leiters:

$$\oint_C \vec{B} \cdot d\vec{s} = \vec{B} \cdot \oint_C d\vec{s} = \vec{B} \cdot \vec{S} = B \cdot 2\pi r$$

$$\Rightarrow B = \frac{\mu_0 I}{2\pi r}$$

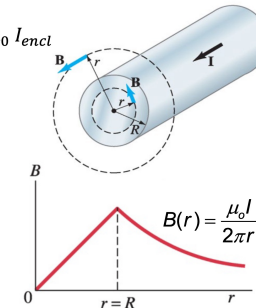
$$\oint_C \vec{B} \cdot d\vec{s} = \vec{B} \cdot \vec{S} = B \cdot S = \mu_0 I_{\text{encl}}$$

Für $r < R$:

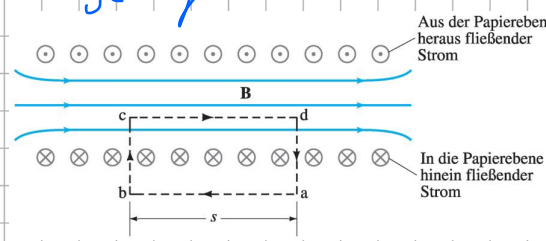
$$I_{\text{encl}} = j \cdot A(r) = I \frac{\pi r^2}{\pi R^2}$$

$$B \cdot S = 2\pi r B = \mu_0 I \left(\frac{\pi r^2}{\pi R^2} \right)$$

$$\Leftrightarrow B(r) = \left(\frac{\mu_0 I}{2\pi R^2} \right) \cdot r$$



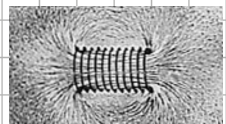
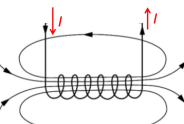
Lange Spule



$$\oint_C \vec{B} \cdot d\vec{s} = \oint_{ab} \vec{B} \cdot d\vec{s} + \oint_{bc} \vec{B} \cdot d\vec{s} + \oint_{cd} \vec{B} \cdot d\vec{s} + \oint_{da} \vec{B} \cdot d\vec{s}$$

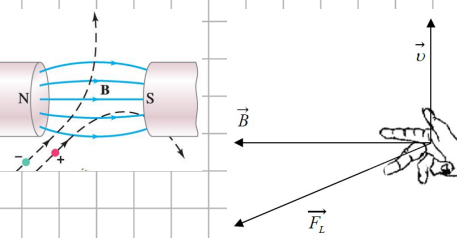
$$\oint_C \vec{B} \cdot d\vec{s} = \oint_{cd} \vec{B} \cdot d\vec{s} = B s = \mu_0 N I \quad \Rightarrow B = \mu_0 N I / s$$

Das Magnetfeld einer geraden Spule ist im Inneren der Spule praktisch homogen



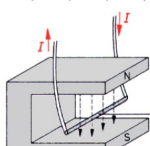
Lorentz-Kraft: Ladung

$$\vec{F}_L = q(\vec{v} \times \vec{B}), \quad \vec{F}_L \text{ Lorentzkraft, } q \text{ bewegte Ladung, } \vec{v} \text{ Geschwindigkeit der Ladung, } \vec{B} \text{ magnetische Flussdichte, } \alpha \text{ Winkel zwischen } \vec{v} \text{ und } \vec{B}.$$



Lorentz-Kraft: Strom

$$\vec{F}_L = I(\vec{l} \times \vec{B}), \quad \vec{F}_L \text{ Lorentzkraft, } I \text{ Strom durch den Leiter, } \vec{l} \text{ Vektor in Stromrichtung mit dem Betrag } l, \quad \vec{B} \text{ magnetische Flussdichte, } \alpha \text{ Winkel zwischen } \vec{l} \text{ und } \vec{B}.$$

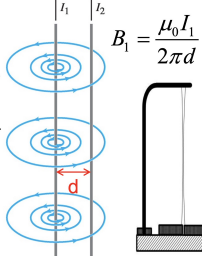


$$\vec{F}_2 = I_2 \cdot \vec{l} \times \vec{B}_1$$

$$\vec{F}_2 = I_2 \cdot l \cdot B_1 \cdot \sin(90^\circ)$$

$$= I_2 l B_1 = I_2 l \frac{\mu_0 I_1}{2\pi d}$$

$$\Rightarrow \frac{F_2}{l} = \frac{\mu_0}{2\pi} \frac{I_1 I_2}{d}$$



Thermodynamik

Die Thermodynamik beschreibt die Energieumwandlung in makroskopischen Systemen und ihre thermischen Eigenschaften.

Mechanik:
Energie (Zustandsgrösse) wird durch mechanische Arbeit (Prozessgrösse) geändert

Thermodynamik:
Innere Energie/Wärmeinhalt (neue Energieform) und Wärme (neue Prozessgrösse)

Historisch:
zuerst phänomenologisch => die **klassische Thermodynamik**
beschreibt empirisch die Zusammenhänge zwischen makroskopisch messbare Größen: z.B. Druck p, Volumen V, und Temperatur T

Später: **statistische Thermodynamik** => basiert auf der ungeordneten Bewegung der mikroskopischen Teilchen um die makroskopischen Zustandsvariablen herzuleiten

Definitionen

Falls: - weder Stoff noch Energie durch diese Systemgrenzen fliessen
- man lang genug wartet

=> Dann befindet sich das System im **thermischen Gleichgewicht**.

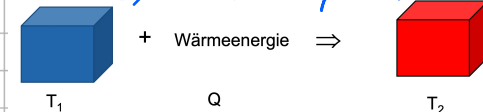
Messgrößen, die nicht von dem Weg auf welchem das System dahin gelangte, abhängt sind **Zustandgrößen**. (z.B. p, V und T sind Zustandgrößen)

Zustandgrößen hängen nur vom momentanen Zustand des Systems ab

Ein System welches keinen Stoff mit der Umgebung austauschen kann, nennen wir ein **abgeschlossenes System**.

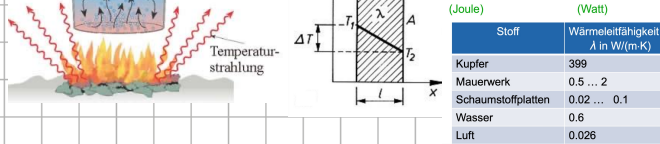
Wird weder Stoff noch Wärme ausgetauscht, ist das System abgeschlossen und **wärmeisoliert**.

Wärme, Wärmekapazität



Wärmeleitung

Links und rechts hat man unterschiedliche Temperaturen => Temperaturunterschied muss ausgeglichen => Eine Wärmemenge Q muss durch die Wand fliessen.



(Wärme (Q) ist die Energie, die infolge einer Temperaturdifferenz von einem Gegenstand auf einen anderen übergehen kann.)

$$Q = C(T_2 - T_1) \quad \text{mit } C: \text{Wärmekapazität (J/kg K)}$$

Bei konstantem Druck: Cp

Bei konstantem Volumen: Cv

Für Wasser Cp = 4180 J/(kg K) bei 20°C und 1 bar

Aluminium Cp = 900 J/(kg K) bei 20°C und 1 bar

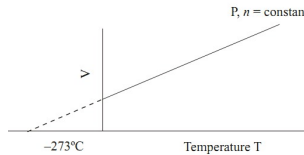
(Wärme (Q) ist die Energie, die infolge einer Temperaturdifferenz von einem Gegenstand auf einen anderen übergehen kann.)

ideales Gas

Wir nehmen eine **feste Menge von Gas** (eine feste Anzahl von Gasteilchen)

Wir kühlen dieses Gas bei **konstantem Druck** (Gasdruck = P_{atm})

Wir messen das Gasvolumen für verschiedene Temperatur (V versus T)



=> Volumen steigt linear mit Temperatur (bei konstantem p)

=> Falls wir die Gerade verlängern Volumen ist null bei -273.15 °C

Neue Temperaturskala: T_{Kelvin} (K) = T_{Celsius} (°C) + 273.15

Zustandsgleichung des idealen Gases:

$$pV = nRT$$

p Gasdruck (in Pa)

V Gasvolumen (in m³)

n Stoffmenge des Gases (in mol)

R molare Gaskonstante, R = 8,3144 J/(mol · K)

T absolute Temperatur (in Kelvin)

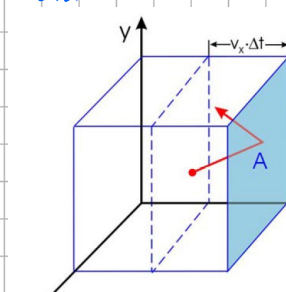
Avogadrosches Gesetz: Ein mol eines beliebigen Gases nimmt unter den Normalbedingungen p₀ = 1,013 · 10⁻⁵ Pa, und T₀ = 273,15 K das Volumen 22,414 dm³ ein.

Ganz allgemein gilt für zwei Zustände 1 und 2 eines abgeschlossenen idealen Gases:

$$\frac{p_1 V_1}{T_1} = \frac{p_2 V_2}{T_2}$$

$\frac{1}{M}$																	
I								II								4.00	He
1.01	H	6.94	Li	9.01	Be	22.99	Na	24.31	Mg	11		26.88	Al	13		20.18	Ne
30.10	40.08	44.95	47.87	50.94	52.00	54.94	55.85	56.93	58.89	63.55	65.39	69.72	72.61	74.92	78.96	79.90	
19	21	20	21	23	24	25	26	27	28	29	30	31	32	33	34	35	
85.47	87.62	88.91	91.22	92.91	95.94	97.91	101.0	102.9	106.4	112.4	114.8	118.7	121.8	127.6	128.0	131.3	Xe
37	38	39	40	41	42	43	44	45	46	47	48	49	50	51	52	53	54
132.9	137.3	175.0	178.5	180.9	183.8	186.2	190.2	192.2	195.1	197.0	200.6	204.4	207.2	209.0	210.0	222.0	Rn
55	56	71	72	73	74	75	76	77	78	79	80	81	82	83	84	85	
Wasserstoff	radioaktiv	Erdsalze	Nichtmetalle	Metalle	Alkalimetalle												

Eins eines idealen Gases



Druck auf die Wand eines Gefäßes: $P = \frac{F}{A}$

Kraftstoß der Gasteilchen auf die Wand: $F = \frac{\Delta p}{\Delta t}$

Impulshaltung für 1 Gasteilchen:

Vorher: $+ m \cdot v_x$ nur die x-Komponente von \vec{v} wirkt: ($v_x \parallel A, v_z \parallel A$)

Nachher: $-m \cdot v_x$ (elastischer Stoß: reflektiert ohne Energieverlust)

Impulsänderung: $\Delta p_1 = 2m \cdot v_x$ Index 1: nur 1 Gasteilchen

Volumendichte N/V Gesamtzahl N der Gasteilchen / Volumen.

N*: Anzahl der Gasteilchen, die A treffen innerhalb Δt =>

müssen innerhalb des Volumens $V^* = A \cdot v_x \cdot \Delta t$ liegen.

$\frac{1}{2}$ davon bewegt sich nach links (-v_x) und $\frac{1}{2}$ nach rechts (+v_x)

$$N^* = \frac{1}{2} \cdot \frac{N}{V} \cdot V^* = \frac{1}{2} \cdot \frac{N}{V} \cdot A \cdot v_x \cdot \Delta t$$

Gesamtmpulsänderung = N*: Einzelmpulsänderung Δp_1

$$\Delta p = \Delta p_1 \cdot N^* = \frac{1}{2} \cdot A \cdot v_x \cdot \Delta t \cdot \frac{N}{V} \cdot 2 \cdot m \cdot v_x = \frac{N}{V} \cdot m \cdot v_x^2 \cdot A \cdot \Delta t$$

Kraftstoß: $F = \frac{\Delta p}{\Delta t} = \frac{N}{V} \cdot m \cdot v_x^2$

Druck: $P = \frac{F}{A} = \frac{N}{V} \cdot m \cdot v_x^2$

Nur ein Teilchen:

Bisher alles entlang x, es gibt aber 3 Dim. (x, y, z) => $v^2 = 3 v_x^2$

$$pV = \frac{1}{3} \cdot \mu \cdot \overline{v^2}$$

p Gasdruck,

V Gasvolumen, Volumen des Gasbehälters,

μ Masse eines einzelnen Gasteilchens,

v mittlere Geschwindigkeit der Gasteilchen

Bisher alles entlang x, es gibt aber 3 Dim. (x, y, z) => $v^2 = 3 v_x^2$

Mehrere Gasteilchen => mittlere Geschwindigkeitsbetrag = $\overline{v^2}$

$$pV = \frac{1}{3} N \cdot \mu \cdot \overline{v^2}$$

$$pV = \frac{1}{3} N \cdot \mu \cdot \overline{v^2}$$

$$pV = nR T$$

Die mittlere E_{kin} eines Atoms in einem idealen Gas = $\frac{1}{2} mv^2 = \frac{\mu}{2} \overline{v^2} = \frac{3}{2} k \cdot T$

=> mittlere Energie eines idealen atomaren (punktförmigen Gasteilchen) Gas hängt nur von T, und ist unabhängig von der Gaszusammensetzung

Innere Energie

Innere Energie (Symbol: U) = Die gesamte Energie, die innerhalb eines Systems gespeicherte ist.

Für ein ideales Gas => $U = \text{Bewegungsenergien aller Gasteilchen}$. (Achtung: Die Bewegungsenergie des Schwerpunktes des Gesamtsystems und die potentielle Energie des Systems sind äußere Energien)

$$\Rightarrow U = \sum E_{\text{kin}} = \frac{3}{2} n N_A k \cdot T = \frac{3}{2} n R T$$

=> Bei idealen atomaren Gasen hängt die innere Energie nicht vom Volumen und vom Gasdruck ab, sondern nur von der Temperatur und der Teilchenzahl

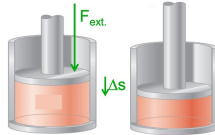
Nur Zur Info: Sind die Gasteilchen Moleküle (also keine atomare Gasteilchen), so können diese rotieren. Die Gesamtenergie besteht dann aus Translation- und Rotations-Energie, und das Freiheitsgrad f der Moleküle muss eingeführt werden um die Geometrie der Moleküle zu berücksichtigen.

Volumenänderung

Volumenänderungsarbeit (δW) = Arbeit der Umgebung am Gas bei Verschiebung des Kolbens um die Strecke ds .

$$\delta W = -F \cdot ds = -\frac{F}{A} \cdot A ds = -pdV \Rightarrow W_{12} = -\int_{V_1}^{V_2} p(V) dV$$

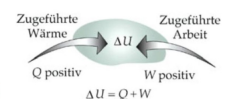
Verrichtete Arbeit (im Gas zugeführt)
Druck des Gases (p hängt von V ab)
Volumenänderung des Gases



Gas wird zusammengedrückt ($dV < 0$)
⇒ Arbeit $\delta W > 0$
⇒ Energie wird im Gas zugeführt
⇒ Gas wird heißer.

Erster Hauptsatz

Mechanische Arbeit zufuhr: δW



Die Änderung der inneren Energie (U) eines Systems ist gleich der Summe der ihm netto zugeführten Wärme δQ und der ihm netto zugeführten Arbeit δW .
 $\Rightarrow dU = \delta Q + \delta W$

Isotherme Expansion

Das Gas befindet sich in einem Kolben und expandiert bei konstanter Temperatur (=> Wärme muss zugeführt werden)

$$W_{AB} = -\int_{V_A}^{V_B} p(V) dV = -\int_{V_A}^{V_B} nRT_1 \frac{1}{V} dV = nRT_1 \ln\left(\frac{V_B}{V_A}\right)$$

$pV = nRT$

Expansion => $V_A < V_B \Rightarrow W_{AB} < 0$ Gas liefert Arbeit (Kolben geht hoch)

Ideales Gas bei isothermen Prozessen => innere Energie bleibt erhalten

$$\Rightarrow dU = \delta Q + \delta W = 0 \Rightarrow Q_1 = -W_{AB} \Rightarrow Q_1 > 0$$

Wärme wird zugeführt

Adiabatische Expansion

Das Gas befindet sich in einem Kolben und expandiert ohne Wärmeaustausch (=> Temperatur muss sinken $T_1 > T_2$)

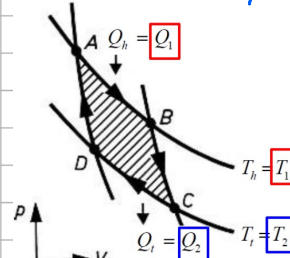
Erster Hauptsatz: $dU = \delta Q + \delta W$

⇒ Arbeit am Gas = Änderung der inneren Energie

$$\Rightarrow W_{BC} = nc_V \cdot (T_2 - T_1)$$

$$\Rightarrow W_{BC} < 0 \quad \text{Gas liefert Arbeit (Kolben geht hoch)}$$

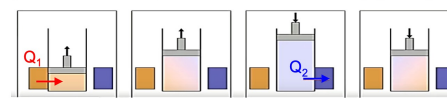
Carnot - Kreisprozess



Nur der Bruchteil $(T_1 - T_2) / T_1$ der Wärme Q_1 kann als mechanische Energie genutzt werden

$Q_2 = -(T_2/T_1) \cdot Q_1$
muss an den Wärmebehälter 2 bei tiefer Temperatur abgegeben werden

- a) isotherme Expansion von A nach B (bei T_1)
- b) adiabatische Expansion von B nach C (T_1 bis T_2)
- c) isotherme Kompression von C nach D (bei T_2 , $T_2 < T_1$)
- d) adiabatische Kompression zwischen D und A (T_2 bis T_1)



W_{Nutz} = Nutzarbeit = Arbeit des Gases im Kolben (gelieferte mechanische Energie)

Wirkungsgrad der Carnot-Maschine:

$$\eta = \frac{W_{\text{Nutz}}}{Q_1} = \frac{Q_1 + Q_2}{Q_1} = \frac{T_1 - T_2}{T_1}$$

Zweiter Hauptsatz

Es gibt keine periodisch arbeitende Maschine, die nichts weiter leistet, als einem Wärmereservoir Wärme zu entziehen und diese in mechanische Energie umzuwandeln.

Reale Maschine: $Q_2 \geq -(T_2/T_1) \cdot Q_1 \Rightarrow Q_1/T_1 + Q_2/T_2 \geq 0$

Infinitesimal kleine Schritte: $Q \rightarrow \delta Q \Rightarrow \delta Q_1/T_1 + \delta Q_2/T_2 + \dots \geq 0$

Definition: Entropieänderung: $dS = \frac{\delta Q}{T}$

$$\Delta S_{12} = S_2 - S_1 = \int_1^2 \frac{\delta Q}{T} \geq 0$$

irreversible Vorgänge $\Delta S > 0$ (Entropie nimmt zu)
reversible Vorgänge $\Delta S = 0$ (Entropie bleibt erhalten)

Wellen

:= stetig räumlich ausbreitende Störung (Auslenkung aus der Ruhelage)

Welle in Skalarfeld:

$$f(\vec{r}, t) = s(\vec{r} - \vec{v}t) \quad \rightarrow \quad s(\vec{r}) \text{ verschiebt sich mit } |\vec{v}| \text{ in Richtung } \frac{\vec{v}}{|\vec{v}|}$$

in linearen Medien gilt Superposition:

$$f(\vec{r}, t) = \sum_i s_i(\vec{r}, t) \quad * \quad \text{Spezialfall bei ebenen Wellenfronten}$$

Wellenformen in einer Dimension

harmonische Wellenform:

$$f(x, t) = A_0 \cos(kx - \omega t + \phi_0)$$

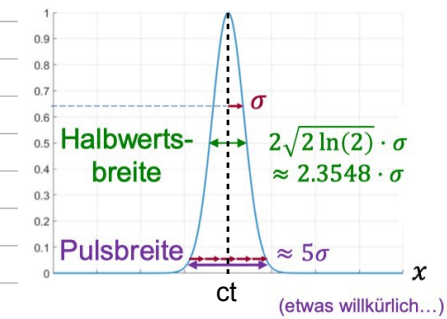
$$\text{Ausbreitungsgeschw.} = c = \frac{\lambda}{T} = \frac{\omega}{k}$$

Puls-Wellenform:

$$f(x) = A_0 \exp\left(-\frac{(x-ct)^2}{2\sigma^2}\right)$$

Kombination \rightarrow Wellenpaket:

$$f(x, t) = A_0 \cos(kx - \omega t) \exp\left(-\frac{(x-ct)^2}{2\sigma^2}\right)$$



Wellengleichung

$$\text{Laplace Operator: } \Delta = \frac{\partial^2}{\partial x^2} + \frac{\partial^2}{\partial y^2} + \frac{\partial^2}{\partial z^2}$$

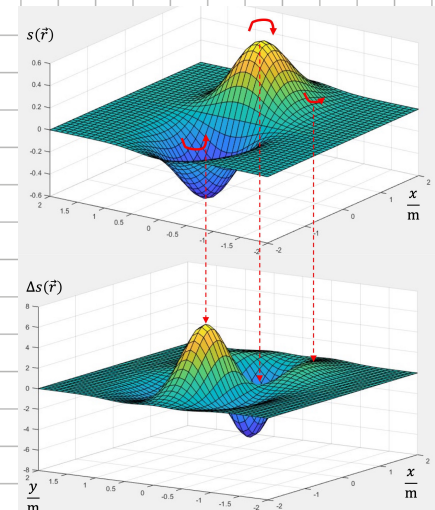
\rightarrow Krümmung (zweifache räumliche Ableitung)

\rightarrow «gespannte Gummiblatt»

\rightarrow Wellengleichung sagt: falls zweifache Ableitung gross ist, erfährt Feldgröße eine rücktreibende Beschleunigung

$$\text{Skalarfeld: } \ddot{s}(\vec{r}) = c^2(\vec{r}) \Delta s(\vec{r})$$

$$\text{Vektorfeld: } \ddot{\vec{s}}(\vec{r}) = c^2(\vec{r}) \Delta \vec{s}(\vec{r})$$



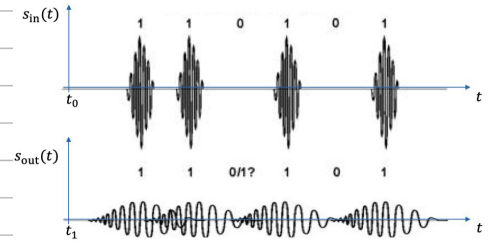
Dispersion

normale Dispersion: tiefe Frequenzen (= grosse λ) schneller als hohe Frequenzen

anomale Dispersion: tiefe Frequenzen langsamer als hohe Frequenzen

Dispersion ist Problem wenn man mit Wellenpaketen Daten übertragen möchte, da das Datenspektrum verschmiert
 \Rightarrow Amplitude sinkt und es gibt Cross talk in das benachbarte Bit

falls $c(\omega) = \text{const.} \Rightarrow$ keine Dispersion

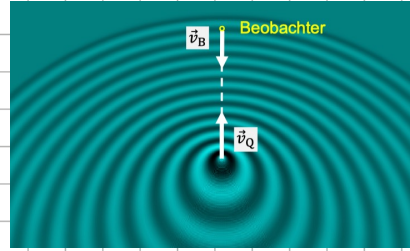
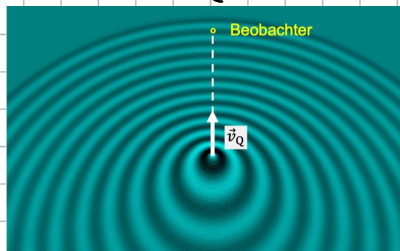


Dopplereffekt

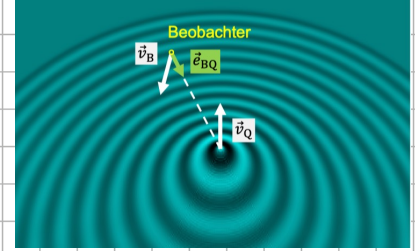
$$f_B = \frac{f_0}{1 + \frac{v_B}{c}}$$

obers. Vorzeichen falls aufeinander zu bewegen

$$f_B = f_0 \frac{c \pm v_B}{c \mp v_B}$$



$$f_B = f_0 \frac{c + v_B \cdot \hat{e}_{BQ}}{c + v_Q \cdot \hat{e}_{BQ}}$$



Schwingung

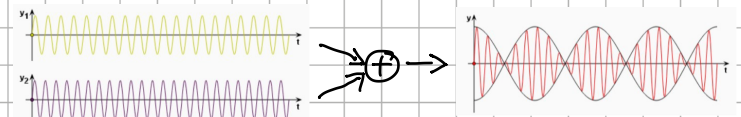
Überlagerung von 2 Wellen mit ähnlicher Frequenz

$$y_1(t) + y_2(t) = \hat{y}_1 \sin(2\pi f_1 t) + \hat{y}_2 \sin(2\pi f_2 t) \xrightarrow{\text{Addition}} 2\hat{y} \sin\left(2\pi \frac{f_1 + f_2}{2} t\right) \cos\left(2\pi \frac{f_1 - f_2}{2} t\right)$$

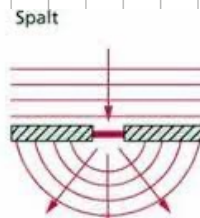
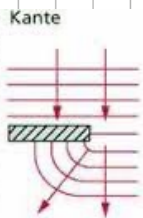
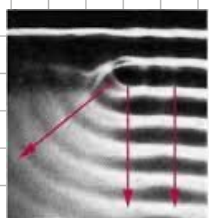
$$f_{\text{Überlagerung}} = \frac{f_1 + f_2}{2} = \text{Mittelwert von } f_1 \text{ und } f_2$$

$$f_{\text{Einhüllende}} = \frac{|f_1 - f_2|}{2} = \frac{\Delta f}{2}$$

$$f_{\text{Schwingung}} = |f_1 - f_2| = \Delta f = 2 \cdot f_{\text{Einhüllende}}$$



Beugung



da nur ca 3λ weit ausgeprägt, ist der Effekt bei $L/\lambda \gg 1$ nicht gut sichtbar

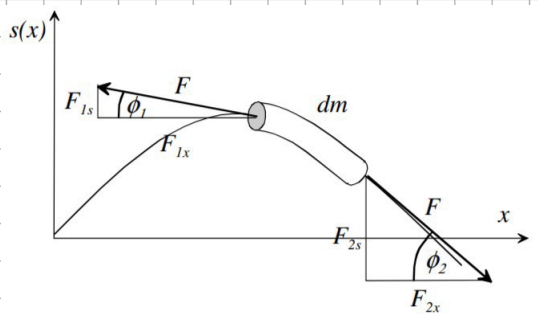
Seilwelle

$$F = ma \Rightarrow \Delta m \frac{\partial^2 s}{\partial t^2} = \rho A_{\text{fl}} \Delta x \frac{\partial^2 s}{\partial t^2} = F_{2s} - F_{1s}$$

$$\rho A_{\text{fl}} \Delta x \frac{\partial^2 s}{\partial t^2} \stackrel{\cos \phi \approx 1}{\approx} F_s \left(\frac{\partial s}{\partial x} \Big|_{x+\Delta x} - \frac{\partial s}{\partial x} \Big|_x \right)$$

$$\Leftrightarrow \rho \frac{A_{\text{fl}}}{F_s} \frac{\partial^2 s}{\partial t^2} = \frac{1}{\Delta x} \left(\frac{\partial s}{\partial x} \Big|_{x+\Delta x} - \frac{\partial s}{\partial x} \Big|_x \right)$$

$$\Leftrightarrow \frac{\rho}{\sigma} \frac{\partial^2 s}{\partial t^2} = \frac{\partial^2 s}{\partial x^2}$$



Schall

$$\ddot{p} = \frac{k}{\rho} \Delta p \quad \text{mit } \sqrt{\frac{k}{\rho}} = \frac{\omega}{k} = c = (331.5 + 0.6 \cdot T / {}^\circ\text{C}) \frac{\text{m}}{\text{s}} \quad (\text{Luft})$$

$$\text{Schallintensität } \vec{J} = \frac{P}{A} \left[\frac{\text{W}}{\text{m}^2} \right] \quad (\text{Energieflussdichte})$$

$$\text{Schallleistung } P = \oint_A \vec{J} \cdot d\vec{A}$$

- punktförmige Quelle:

$$P = \oint_A \vec{J} \cdot d\vec{A} = J(r) \oint_A d\vec{A} = J(r) 4\pi r^2$$

$$\Rightarrow J(r) = \frac{P}{4\pi r^2} \Rightarrow J \text{ nimmt mit } \frac{1}{r^2} \text{ ab}$$

- Linienquelle / 2D-Welt: J nimmt mit $\frac{1}{r}$ ab

Schallpegel

$$\text{Schalldruckpegel } L_p = 10 \log_{10} \left(\frac{p^2}{p_0^2} \right) = 20 \log_{10} \left(\frac{p}{p_0} \right)$$

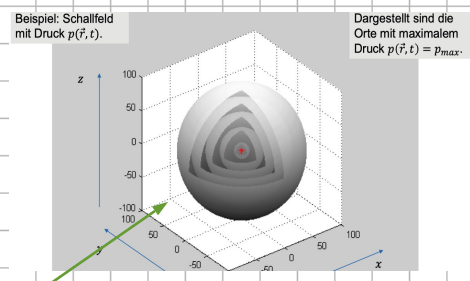
$$\text{Schallleistungspegel } L_w = 10 \log_{10} \left(\frac{P}{P_0} \right)$$

$$\text{Schallintensitätsp. } L_J = 10 \log_{10} \left(\frac{|J|}{J_0} \right)$$

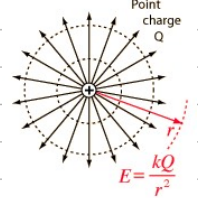
$$p_0 = 2 \cdot 10^{-5} \text{ Pa}$$

$$P_0 = 10^{-12} \text{ W}$$

$$J_0 = 10^{-12} \frac{\text{W}}{\text{m}^2}$$



Elektrizitätslehre



Merksätze:

- Kraft, die von Ladungen ausgeht folgt einem $\frac{1}{r^2}$ -Gesetz
- Ladung ist eine mengenmäßige Größe und lässt sich auf andere Körper übertragen
- \vec{E} -Feld lässt sich als Kraft/Probeladung oder Spannung/Distanz interpretieren
- Ladung im Volumen V verursacht Flussdichte \vec{D} auf Oberfläche $A = \partial V$ dieses Volumens, $[D] = C/m^2$
- falls im Innern eines geschlossenen Metallgefässes keine Ladungen vorhanden $\Rightarrow \vec{E}$ -Feld ist null (Faraday-Käfig)
- Influenz: Ladungsdichte stellt sich in einem Leiter so ein, dass auf frei beweglichen Ladungsträgern keine Kraft mehr wirkt
- elektrische Feldlinien stehen senkrecht auf Metalloberflächen

elektrisches Feld \vec{E} bevorzugt

$$\boxed{\vec{E}(\vec{r}) = \vec{F}(r)/q} \quad \text{«elektrostatische Kraft pro Probeladung»}$$

$$= -\nabla(\varphi(\vec{r})) \quad \text{«Gradient des Potenzials»}$$

$$[E] = N/C = V/m \quad \text{«Spannung pro Distanz»}$$

Vektorfeld

Superpositionssatz:

$$\vec{E}(\vec{r}) = \frac{1}{q\pi\epsilon} \sum Q_i \frac{\vec{e}_r}{r_i^2}$$



Poisson-Gleichung

$$\boxed{\Delta\varphi = -\frac{\rho}{\epsilon}}$$

$\varphi(r)$: elektrisches Potenzial
 $\rho(r)$: el. Ladungsdichte $\rightarrow \rho(r) = \rho(x,y,z)$ $[\rho] = C/m^3$ (Stokes-Feld)
 $\epsilon(r) = \epsilon_0 \epsilon_r(r)$: Permittivität

statisch (keine zeitliche Ableitung, bewegt sich nichts)

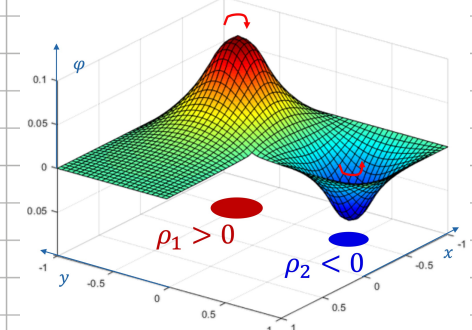
Gummihant-Idée

da wo die zweifache Ableitung des Potenzials gross ist, gibt es eine Ladungsdichte

überall wo keine Ladungsdichte vorhanden, gibt es auch keine Krümmung

Zusammenhang mit MWI:

$$\Delta\varphi = \nabla \cdot \nabla \varphi = \nabla \cdot (-\vec{E})$$



Arbeit W

$$\boxed{W_{12} = \int_{\vec{r}_1}^{\vec{r}_2} \vec{F}(\vec{r}) \cdot d\vec{r} = q \int_{\vec{r}_1}^{\vec{r}_2} \vec{E}(\vec{r}) \cdot d\vec{r} \stackrel{*}{=} qEL}$$

* Spezialfall: $|E|$ konstant und \parallel zu $d\vec{r}$

wenn man im statischen \vec{E} -Feld einmal im Kreis geht, gilt: $W_{12} = q \oint \vec{E} \cdot d\vec{r} = 0$

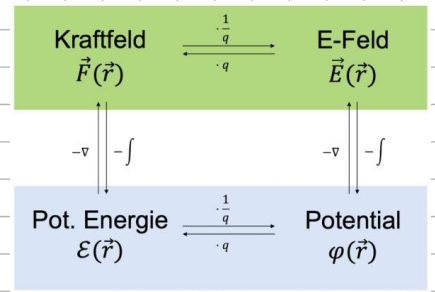
$$E_2^{\text{pot}} - E_1^{\text{pot}} = -W_{12}$$

Spannung U

$U = W/q \quad \text{«Arbeit pro Probeladung»}$

$$U_{12} = \int_{\vec{r}_1}^{\vec{r}_2} \vec{E}(\vec{r}) \cdot d\vec{r} \stackrel{*}{=} E \cdot l$$

$$U = -(\varphi_2 - \varphi_1) = \varphi_1 - \varphi_2$$



Strom I

$$I(t) = \frac{d}{dt} Q(t) \Leftrightarrow Q(t) = \int_{t_0}^t I(t') dt'$$

elektrische Flussdichte \vec{D}

$$\vec{D} = \epsilon_0 \vec{E} + \vec{P} \quad [D] = \frac{C}{m^2} \quad \text{mit } \epsilon_0 \approx 8.85 \cdot 10^{-12} \frac{As}{Vm}$$

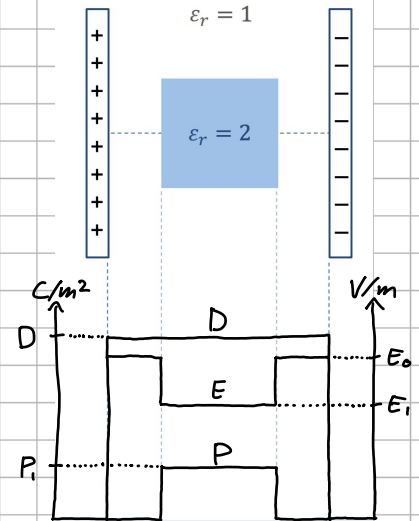
falls Material linear & isotrop gilt:

$$\vec{P} = \chi \vec{E} \quad \text{und somit}$$

$$\vec{D} = \epsilon \vec{E} \quad \text{mit } \epsilon = \epsilon_0 \epsilon_r$$

$\chi = \text{Suszeptibilität}$
 $= \text{Fähigkeit des Materials}$
 $\text{zur el. Polarisierung}$

Ursache: mikroskopische Dipole, die zusätzlich das \vec{P} -Feld generieren



Satz von Gauss \rightarrow MWI in Integralform

$$\oint_{\partial V} \vec{D} \cdot d\vec{A} = \iiint_V \rho dV$$

\vec{D} -Feld aufsummiert auf Oberfläche ∂V des Volumens

Summe über alle Quellen im Volumen

Es fließt durch die Oberfläche... ...was im Innern entsteht

Trick falls symmetrische Ladungsdichte in Kugel: $\oint_{\partial V} \vec{D} \cdot d\vec{A} = D(r) \oint_{\partial V} dA = D(r) \text{Vol}_2(\partial V)$

Zusammenhang mit Poisson Gleichung:

$$\vec{E} = \frac{1}{4\pi\epsilon} \frac{Q}{r^2} \vec{e}_r$$

Bedingungen: Punktladung, E_r konstant

$$\epsilon \vec{E} \cdot 4\pi r^2 = Q \vec{e}_r$$

$$\oint_{\partial V} \vec{E} \cdot d\vec{A} = \iiint_V \rho dV \quad \text{Vorteil: allgemeingültig!, beliebige Ladungsdichte } \rho(r), \text{ beliebiges Material } \epsilon_r(r)$$

$$\nabla \cdot \vec{E} = \nabla \cdot (-\nabla \varphi) = -\Delta \varphi = \frac{\rho}{\epsilon} \quad \text{Vorteil: gut geeignet für Computer-Simulationen}$$

FARADAY - Käfig

Unter einem FARADAY-Käfig versteht man einen Metallkäfig oder einen von Metall umgebenen Raum. Werden auf einen solchen Metallkäfig elektrische Ladungen gebracht, so verteilen sich diese auf der Oberfläche dieses Metallkäfigs. Sie dringen nicht in den Innenraum ein. Der Innenraum ist somit nicht nur frei von zusätzlichen elektrischen Ladungen, sondern auch frei von elektrischen Feldern.



Das gilt auch dann, wenn z.B. ein Blitz einen solchen FARADAY-Käfig trifft. Der Blitz trifft auf die Oberfläche des Käfigs, dringt aber nicht in den Innenraum ein. Man ist also in einem solchen FARADAY-Käfig vor Blitzschlag oder auch vor anderen starken elektrischen Entladungen geschützt. Dabei ist es gleichgültig, ob es sich um einen vollständig von Metall umschlossenen Raum handelt oder ob die Abgrenzung nur durch ein Metallgitter erfolgt. Das stellte schon der englische Physiker MICHAEL FARADAY (1791-1867) fest. Nach ihm ist deshalb diese Anordnung bezeichnet.



Faradayscher Käfig mit Versuchspersonen im feldfreien Innenraum

Die Karosserien von Autos oder Flugzeughüllen sind solche FARADAY-Käfige. Man ist deshalb in einem Auto oder in einem Flugzeug vor einem Blitzschlag geschützt. Bei Cabrios reicht zur Abschirmung schon der Metallrahmen. Allerdings können starke elektrische Entladungen zu Störungen bei elektronischen Bauteilen führen, bleiben also trotzdem gefährlich.

FARADAY-Käfige nutzt man auch zur Abschirmung von Kabeln: Übertragungskabel für Computer oder Antennenkabel sind von einem Drahtgeflecht aus Kupfer umgeben. Dieses Drahtgeflecht bewirkt, dass keine elektrischen Felder von außen die übertragenen Daten beeinflussen können. Die Abschirmung bewirkt eine störungsfreie Datenübertragung.

Feldgrößen

$$\text{Raumladungsdichte: } \rho \text{ in } \frac{\text{C}}{\text{m}^3}$$

$$\text{Flächenladungsdichte: } \sigma \text{ in } \frac{\text{C}}{\text{m}^2}$$

$$\text{Linienladungsdichte: } \lambda \text{ in } \frac{\text{C}}{\text{m}}$$

$$\text{Ladung } Q = \rho V$$

$$= \sigma A$$

$$= \lambda x$$

$$\text{Stromdichte: } \vec{J} \text{ in } \frac{\text{A}}{\text{m}^2}$$

$$\text{Strom } I = \vec{J} \cdot \vec{A}$$

Magnetismus

magnetische Flussdichte \vec{B}

$$\vec{B} = \mu_0(\vec{H} + \vec{M}) \quad [\vec{B}] = T = \frac{Vs}{m^2}$$

bevorzugt verwendet

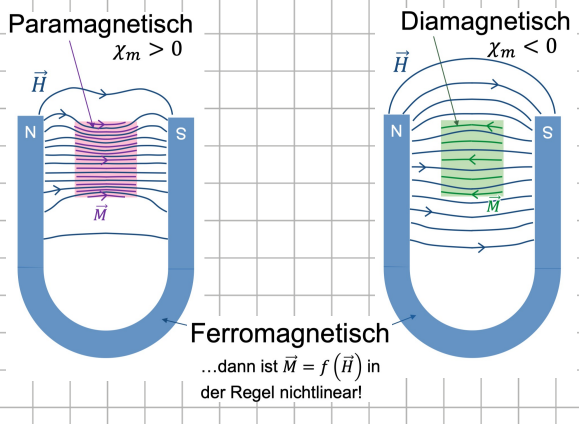
falls Material linear & isotrop gilt:

$$\vec{M} = \chi_m \vec{H} \text{ und somit}$$

$$\vec{B} = \mu_0 \vec{H} \text{ mit } M = \mu_0 M_r$$

$$\hookrightarrow M_r = 1 + \chi_m$$

χ_m = magn. Suszeptibilität
= Fähigkeit des Materials
zur Magnetisierung



mikroskopische/quantenmechanische Ursachen

Diamagnetismus $\chi_m < 0$: alle Stoffe besitzen schwaches magnetisches Moment, welches dem äußeren angelegten Magnetfeld entgegenwirkt ist
Ursache:
Bahndrehimpuls d. e-

Paramagnetismus $\chi_m > 0$: bestimmte Stoffe (z.B. Chrom, Aluminium) magnetisieren sich in Feldrichtung eines äußeren Magnetfeldes \Rightarrow Verstärkung
Ursache:
nicht ausgeduldete Spin- und Bahndrehimpulse aufgrund von unvollständig besetzten Elektronenorbitalen

Ferromagnetismus:

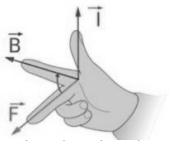
Ursache:
Selbstmagnetisierung einiger kristalliner Festkörper (z.B. Eisen, Nickel, Kobalt)
unausgeglichene magnetische Momente der e^- -Spins

makroskopische/relativistische Ursachen

magnetisches Feld ist elektrisches Feld aus einem bewegten Bezugssystem

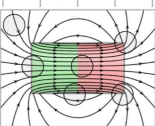
Lorenzkraft

$$\vec{F} = q(\vec{v} \times \vec{B})$$

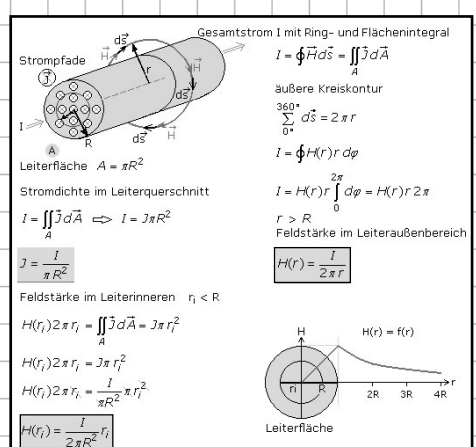


Gauss für Magnetismus \rightarrow MWZ

$$\oint \vec{B} \cdot d\vec{A} = 0$$



gibt keine
magh.- Ladungen



Durchflutungsgesetz \rightarrow MW4 Spezialfall (Statik resp. DC)

$$\oint_A \vec{H} \cdot d\vec{l} = \iint_A \vec{j} \cdot d\vec{A} = I$$

bei Dynamik / AC kommt noch Verschiebungsstrom hinzu...

Trick falls gerader Langer Leiter: $\oint_A \vec{H} \cdot d\vec{l} = H(r) \oint_A dr = H(r) \text{ vol.}(dA)$

$$\vec{H} = \frac{1}{2\pi} \frac{I}{r} \vec{e}_\phi$$

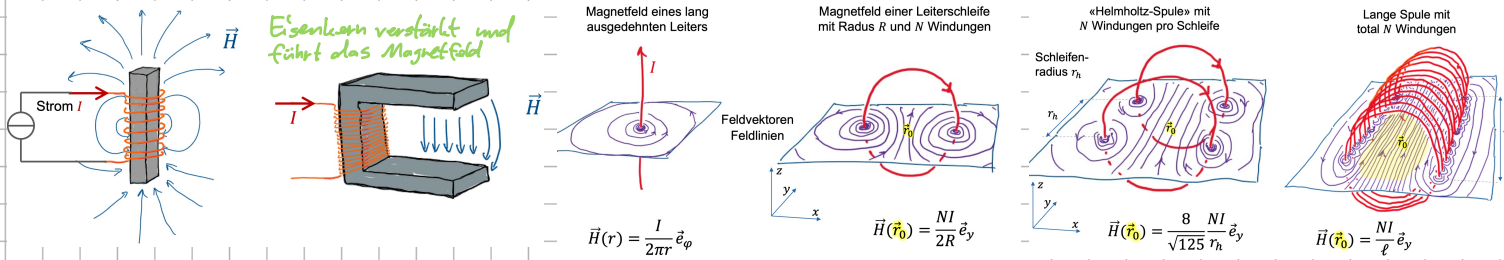
Bedingungen: langer Leiter, 2D-Querschnitt, M_r konstant

$$\vec{H} \cdot 2\pi r = I \vec{e}_\phi$$

Vorteil: allgemeingültig, beliebige Stromdichte $j(r)$, beliebiges Material $M_r(r)$, gut geeignet für Computer-Simulationen

$$\oint_A \vec{H} \cdot d\vec{l} = \iint_A \vec{j} \cdot d\vec{A}$$

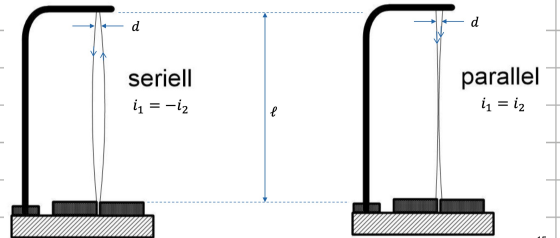
Magnetfelder von Leitern



Kräfte zwischen Strömen

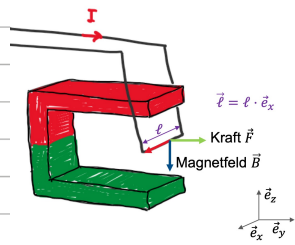
$$F = \frac{\mu_0}{2\pi} \frac{i_1 i_2 l}{d}$$

am Riesenhof falls i_1 und i_2 in gleiche Richtung fließen



Leiterschleife in Magnetfeld

$$\begin{aligned}\vec{F} &= q(\vec{v} \times \vec{B}) \\ &= q\left(\frac{d}{dt} \vec{l} \times \vec{B}\right) \\ &= \frac{d}{dt} q(\vec{l} \times \vec{B}) \\ &= I(\vec{l} \times \vec{B})\end{aligned}$$



Induktion

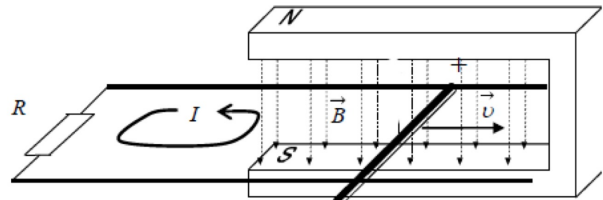
Lorenzkraft führt ungehobt zu einer induzierten Spannung wenn Leiterschleife in Magnetfeld bewegt wird:

$$\vec{F} = q(\vec{v} \times \vec{B})$$

$$U_{\text{ind}} = -v(B)$$

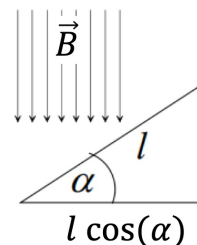
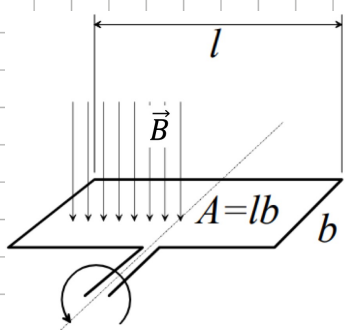
$$U_{\text{ind}} = -\frac{d}{dt} \Phi \quad \text{mit magnetischem Fluss } \Phi = \iint \vec{B} \cdot d\vec{A}$$

↳ Änderung von Fläche, Feld oder Geometrie zwischen beiden



Wechselstromgenerator

$$\begin{aligned}U_{\text{ind}} &= -\frac{d}{dt} \Phi \\ &= -\frac{d}{dt} (NBA \cos(\alpha)) \\ &= -\frac{d}{dt} (NB l b \cos(\omega t)) \\ &= N B l b \omega \sin(\omega t)\end{aligned}$$

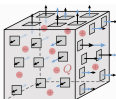


allgemein: Induktionsgesetze \rightarrow MW3

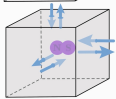
$$U_{\text{ind}} = \oint_{\partial A} \vec{E} \cdot d\vec{r} = - \iint_A \frac{\partial}{\partial t} \vec{B} \cdot d\vec{A} = - \frac{\partial}{\partial t} \iint_A \vec{B} \cdot d\vec{A} = - \frac{d}{dt} \Phi$$

in Wörtern: die zeitl. Veränderung d. magh. Flussdichte verursacht ein elektrisches Feld

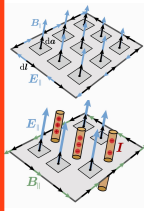
Maxwellgleichungen



Gaußsches Gesetz:
Elektrische Feldlinien divergieren voneinander unter Anwesenheit elektrischer Ladung; die Ladung ist Quelle des elektrischen Feldes.



Gaußsches Gesetz für Magnetfelder:
Magnetische Feldlinien divergieren nicht, das Feld der magnetischen Flussdichte ist quellenfrei; es gibt keine magnetischen Monopole.



Induktionsgesetz:
Änderungen der magnetischen Flussdichten führen zu einem elektrischen Wirbelfeld. Das Minuszeichen schlägt sich in der Lenzschen Regel nieder.

$$\operatorname{div} \vec{D} = \rho$$

$$\iint_{\partial V} \vec{D} \cdot d\vec{A} = \iiint_V \rho dV$$

$$\operatorname{div} \vec{B} = 0$$

$$\iint_{\partial V} \vec{B} \cdot d\vec{A} = 0$$

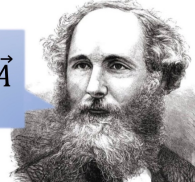
Hier wäre die magnetische Ladung...

$$\operatorname{rot} \vec{E} = -\dot{\vec{B}}$$

$$\oint_{\partial A} \vec{E} \cdot d\vec{r} = -\frac{\partial}{\partial t} \iint_A \vec{B} \cdot d\vec{A}$$

$$\operatorname{rot} \vec{H} = \vec{j} + \dot{\vec{D}}$$

$$\oint_{\partial A} \vec{H} \cdot d\vec{r} = \iint_A \vec{j} \cdot d\vec{A} + \frac{\partial}{\partial t} \iint_A \vec{D} \cdot d\vec{A}$$



1864

clean stuff

$$\iint_{\partial V} \vec{D} \cdot d\vec{A} = \iiint_V \rho dV = Q$$

$$\oint_{\partial A} \vec{H} \cdot d\vec{r} = \iint_A \vec{j} \cdot d\vec{A} = I$$

$$\varphi_1 - \varphi_2 = \int_L \vec{E} \cdot d\vec{r} = U$$

dirty stuff

$$\left. \begin{array}{l} \vec{D} = \epsilon \vec{E} \\ \vec{B} = \mu \vec{H} \\ \vec{j} = \sigma \vec{E} \end{array} \right\} \begin{array}{l} L: \text{Flussdichte}, R: \text{Feldstärke} \\ \vec{E} \end{array}$$

«Fluss durch die Oberfläche Gesetze»:

$$\iint_{\partial V} \vec{D} \cdot d\vec{A} = \iiint_V \rho dV \quad (1)$$

$$\iint_{\partial V} \vec{B} \cdot d\vec{A} = 0 \quad (2)$$

«Wirbelgesetz (Feld entlang der Randlinie)»:

$$\oint_{\partial A} \vec{E} \cdot d\vec{r} = -\frac{\partial}{\partial t} \iint_A \vec{B} \cdot d\vec{A} \quad (3)$$

Anmerkung des ungl.
Fluss ist die
Quelle des E-Feld

$$\oint_{\partial A} \vec{H} \cdot d\vec{r} = \iint_A \vec{j} \cdot d\vec{A} \quad (4)$$

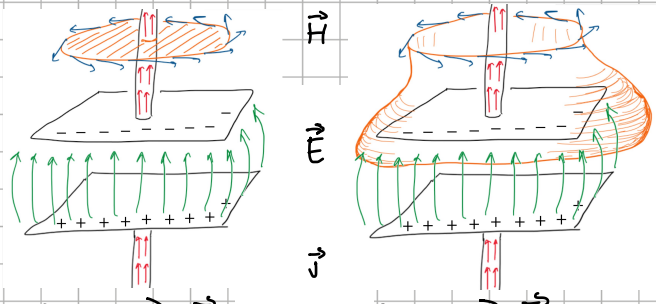
Strom ist die
Quelle des H-Feld

bei (4) fehlte jedoch noch der Verschiebungsstrom, welcher durch MW 1864 ergänzt wurde:

Gedankenexperiment zu Verschiebungsstrom:

«Strom → Quelle von H-Feld»:

$$\begin{aligned} \oint_{\partial A} \vec{H} \cdot d\vec{r} &= \iint_A \vec{j} \cdot d\vec{A} + \frac{\partial}{\partial t} \iint_A \vec{D} \cdot d\vec{A} = I \\ &= \iint_A (\sigma \vec{E} + \epsilon \frac{\partial}{\partial t} \vec{E}) \cdot d\vec{A} \\ &= \text{Leistungsstrom} + \text{Verschiebungsstrom} \end{aligned}$$



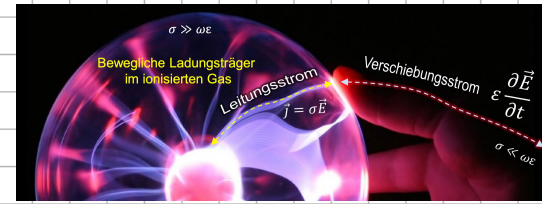
$$j^s > 0, \frac{\partial}{\partial t} E^s > 0$$

$$j^s = 0, \frac{\partial}{\partial t} E^s > 0$$

bei harmonischen Signal (Wechselspannung) $\vec{E}(t) = \vec{E}_0 \sin(\omega t)$ kann man 2 Bereiche unterscheiden:

$\sigma \gg \omega \epsilon \Rightarrow$ Leistungsstrom dominiert

$\sigma \ll \omega \epsilon \Rightarrow$ Verschiebungsstrom dominiert



MW wenn es Materie hat

Permittivität

$$\epsilon(\vec{r}) = \epsilon_0 \epsilon_r(\vec{r})$$

Permeabilität

$$\mu(\vec{r}) = \mu_0 \mu_r(\vec{r})$$

Leitfähigkeit

$$\sigma(\vec{r})$$

Brechungsindex

$$n(\vec{r}) = \sqrt{\mu_r(\vec{r}) \epsilon_r(\vec{r})}$$

$$\begin{aligned} \vec{D} &= \epsilon \vec{E} \\ \vec{B} &= \mu \vec{H} \\ \vec{j} &= \sigma \vec{E} \end{aligned}$$

Hertzscher Dipol vs $\lambda/2$ -Dipol

theoretisches Konstrukt

VS

Bauanleitung für einfache Antenne

geschlossene Formel

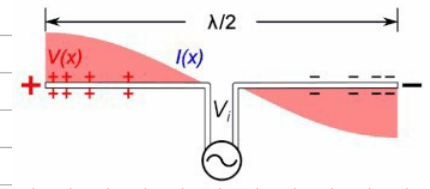
VS

meist numerisch berechnet

Dipollänge $\delta L \rightarrow 0$

VS

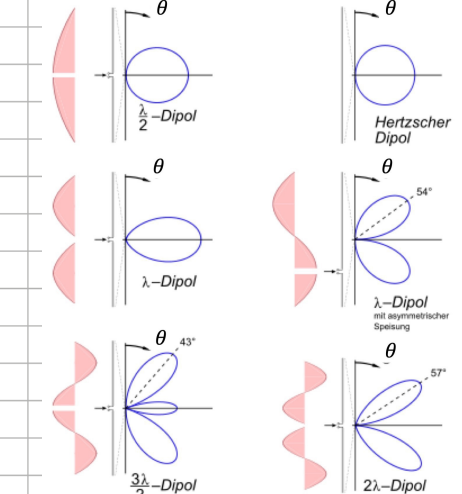
Dipollänge = $\lambda/2$



Abstrahlcharakteristiken des Dipoles

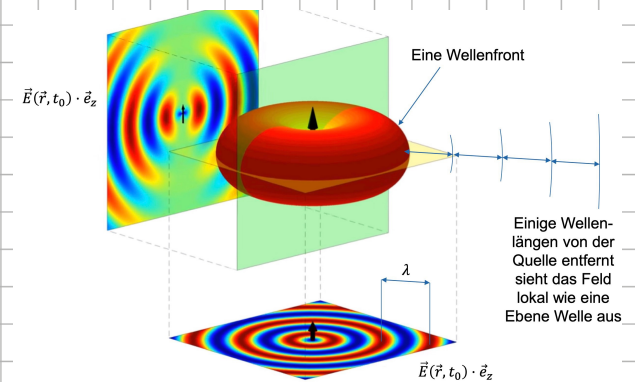
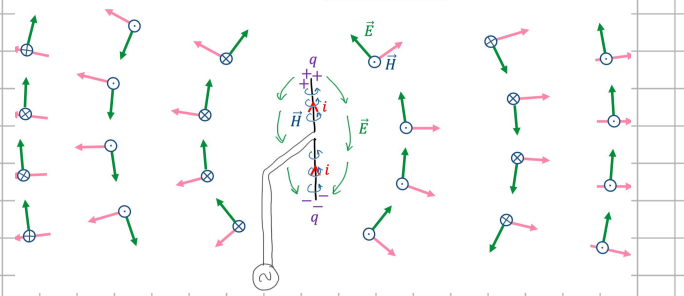
Nahfeld = komplizierte Feldverteilung mit eng gekoppelten $\vec{E}(\vec{r}, t)$ und $\vec{H}(\vec{r}, t)$ in Wänden als 10λ von der Quelle

Fernfeld = relativ einfache Feldsituation in mehr als 10λ Abstand von der Quelle: $\vec{E}(\vec{r}, t)$ und $\vec{H}(\vec{r}, t)$ immer senkrecht aufeinander und der $\vec{s} = \vec{E} \times \vec{H}$ zeigt in radiale Richtung
→ Intensität variiert über den Raumwinkel

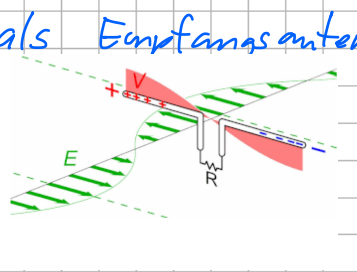


Dipolabstrahlung

$$\vec{s}(\vec{r}, t) = \vec{E} \times \vec{H}$$



Dipol als Empfangsantenne:

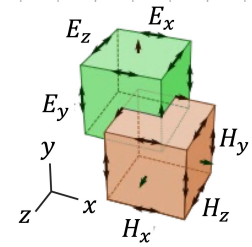


Leapfrog Zeitschrittverfahren

↳ <<Böschungspunkt>>

$$\text{rot}(\vec{E}) = -\mu \dot{\vec{H}}, \quad \text{rot}(\vec{H}) = \epsilon \dot{\vec{E}}$$

immer erstmal E -Feld, dann nach $dt/2$ H -Feld berechnen



Full-Wave Maxwell Computationsimulation

absorbierende Randbedingung: PML = Perfectly Matched Layer

Energiefluss in Schaltkreisen

Energieflussdichte:

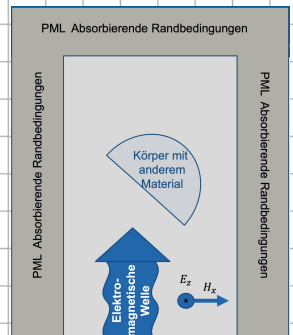
$$\vec{S} = \vec{E} \times \vec{H} \quad [\text{W/m}^2]$$

Leistungsdichte:

$$p = \vec{E} \cdot \vec{j} = \sigma_{\text{el}} |\vec{E}|^2 \quad [\text{W/m}^3]$$

$$R = \frac{l}{\sigma_{\text{el}} A}$$

$$\frac{R}{l} = \text{spez. Widerstand}$$



Skin-Effekt

bei Wechselstrom ändert sich Magnetfeld \Rightarrow Wirbelströme

$$\text{rot} \vec{H} = \vec{j} \Leftrightarrow \oint_{\partial A} \vec{H} \cdot d\vec{r} = \iint_A \vec{j} \cdot d\vec{A} \Rightarrow H \oint_{\partial A} \frac{dr}{r} = j \iint_A \frac{dA}{r^2}$$

$$\text{rot} \vec{E} = -i\omega \mu \vec{H}$$

$$E = \frac{U}{l}$$

Skintiefe:

$$\delta = \sqrt{\frac{2\rho}{\omega \mu}}$$

ρ [S/m]: spezif. Widerst.

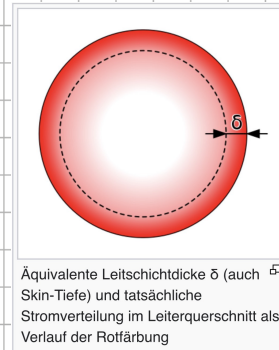
$$\rho = RA/l$$

ω [rad/s]: Kreisfrequenz

$$\omega = 2\pi f$$

μ [N/A²]: Permeabilität

$$\mu = \mu_0 \mu_r$$



zeitharmonische Felder

MW in komplexer Schreibweise:

$$\text{div} \vec{B} = \rho$$

$$\text{div} \vec{B} = 0$$

$$\text{rot} \vec{E} = -i\omega \vec{B}$$

$$\text{rot} \vec{H} = \vec{j} + i\omega \vec{D}$$

Definition von Variablen:

$$\vec{E}(\vec{r}, t) = \vec{E}(\vec{r}) \cdot e^{i\omega t}$$

Feld im
zeitbereich

Komplexes Feld
(Phasor)

$$\text{komplexe Permittivität: } \epsilon(\vec{r}) = \epsilon_0 \epsilon_r(\vec{r}) - \frac{i\sigma(\vec{r})}{\omega}$$

$$\text{komplexe Brechungsindex: } n = \sqrt{\epsilon \mu} = n' + i n''$$

MW-Gl in Differentialform

Gauss

$$\nabla \cdot \vec{D} = \rho \quad (1)$$

Gauss für Magnetfelder

$$\nabla \cdot \vec{B} = 0 \quad (2)$$

Faraday

$$\nabla \times \vec{E} = -\dot{\vec{B}} \quad (3)$$

Ampère

$$\nabla \times \vec{H} = \vec{j} + \dot{\vec{D}} \quad (4)$$

Wellengleichung im Vakuum

$$\begin{aligned} \nabla \times \vec{E} &= -\mu \dot{\vec{H}} \Leftrightarrow \dot{\vec{H}} = \frac{-1}{\mu} \nabla \times \vec{E} \\ \nabla \times \vec{H} &= \epsilon \dot{\vec{E}} \Leftrightarrow \ddot{\vec{E}} = \frac{1}{\epsilon} \nabla \times \vec{H} \end{aligned} \quad \Rightarrow \ddot{\vec{E}} = \frac{-1}{\epsilon \mu} \nabla \times \nabla \times \vec{E} = \frac{-1}{\epsilon \mu} (\nabla(\nabla \cdot \vec{E}) - \nabla^2 \vec{E})$$

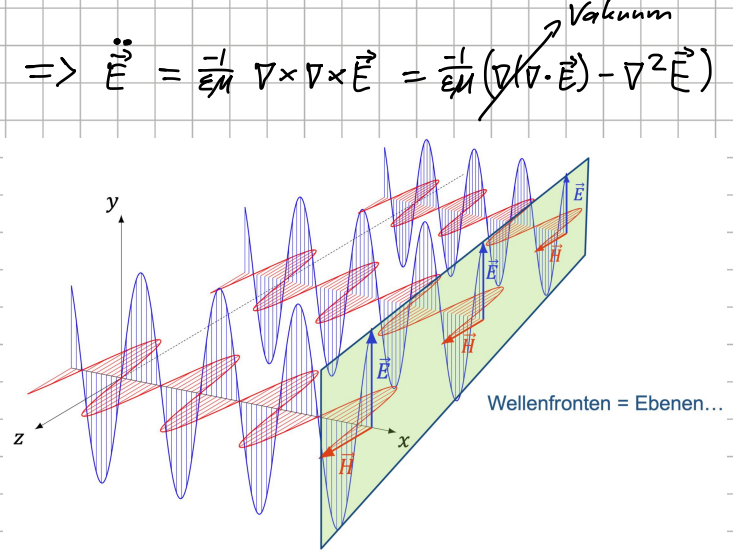
$$\Rightarrow \boxed{\ddot{\vec{E}} = \frac{1}{\epsilon \mu} \nabla^2 \vec{E}}$$

Lösungen:

- Ebene Welle:

$$\vec{E}(\vec{r}, t) = E_0 \vec{e}_y \cos(kx - \omega t)$$

$$\vec{H}(\vec{r}, t) = H_0 \vec{e}_z \cos(kx - \omega t)$$



- Überlagerungen von bekannten Lösungen:

$$\vec{E}(\vec{r}, t) = \sum_i E_i \vec{e}_i \cos(k_i \cdot \vec{r} - \omega_i t + \phi_i)$$

- $\lambda/2$ -Dipolantenne als Sender und Empfänger

- Numerisch: z.B. Finite-Difference Time-Domain (FDTD) Methode

ebene (linear polarisierte) Welle

$$\vec{E}(\vec{r}, t) = \vec{E}_0 \cos(k \cdot \vec{r} - \omega t + \Phi_E)$$

$$\vec{H}(\vec{r}, t) = \vec{H}_0 \cos(k \cdot \vec{r} - \omega t + \Phi_H)$$

$$\vec{S}(\vec{r}, t) = \vec{E} \times \vec{H}$$

Poyntingvektor

$$Z_0 = E_0 / H_0 = \sqrt{\mu/\epsilon}$$

Wellenimpedanz

$$n = \sqrt{\mu_r \epsilon_r}$$

Bruchungsindex

$$c = \frac{\omega}{k} = \lambda f = \frac{1}{\sqrt{\mu \epsilon}} = \frac{c_0}{n}$$

Ausbreitungsgeschwindigkeit

Optik

MW-Gleichungen mit E und B

Gauss

$$\nabla \cdot \vec{E} = \rho / \epsilon_0 \quad (1)$$

Gauss für Magnetfelder

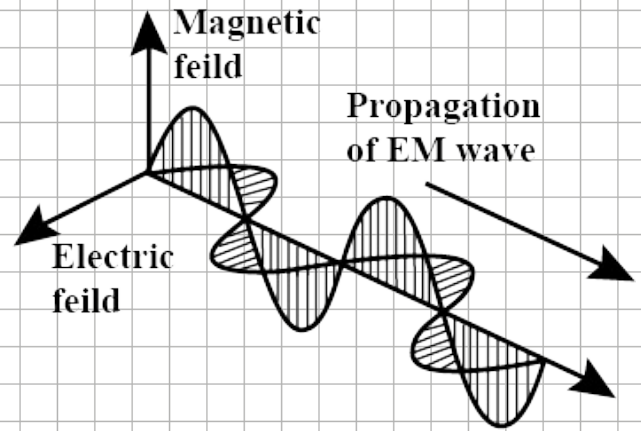
$$\nabla \cdot \vec{B} = 0 \quad (2)$$

Faraday

$$\nabla \times \vec{E} = -\frac{\partial}{\partial t} \vec{B} \quad (3)$$

Ampère

$$\nabla \times \vec{B} = \mu_0 \vec{J} + \mu_0 \epsilon_0 \frac{\partial}{\partial t} \vec{E} \quad (4)$$



Wellengleichung im Vakuum

$$\begin{aligned} \nabla \times \vec{E} &= -\frac{\partial}{\partial t} \vec{B} \quad \Leftrightarrow \quad \vec{B} = -\nabla \times \vec{E} \\ \nabla \times \vec{B} &= \mu_0 \epsilon_0 \vec{E} \quad \Leftrightarrow \quad \vec{E} = \frac{1}{\mu_0 \epsilon_0} \nabla \times \vec{B} \end{aligned} \quad \Rightarrow \quad \ddot{\vec{E}} = \frac{-1}{\mu_0 \epsilon_0} \nabla \times \nabla \times \vec{E} = \frac{-1}{\mu_0 \epsilon_0} (\nabla(\nabla \cdot \vec{E}) - \nabla^2 \vec{E})$$

\$\ddot{\vec{E}} = \frac{1}{\mu_0 \epsilon_0} \nabla^2 \vec{E}\$

allgemeine Lösung ist gegeben durch

$$\vec{E}(\vec{r}, t) = \operatorname{Re} \left(\int_{\vec{k}} \int_{\omega} \vec{E}_0(\vec{k}, \omega) e^{\pm i \vec{k} \cdot \vec{r} - i \omega t} d\omega d^3 k \right)$$

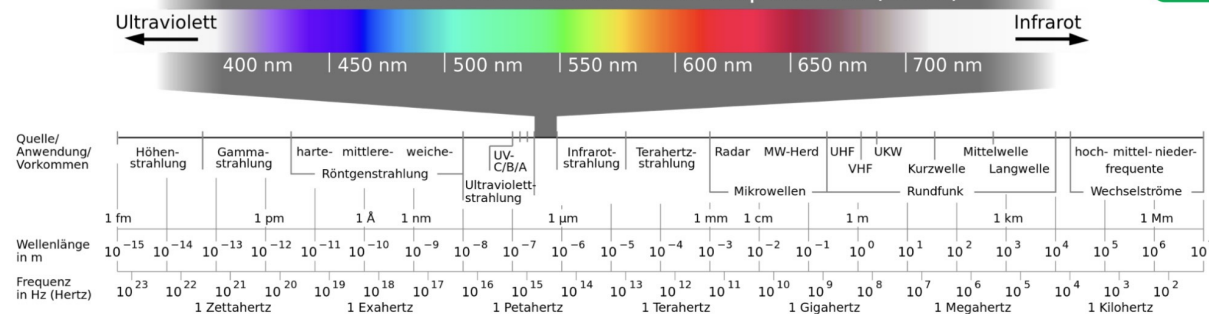
mit $\vec{k} \cdot \vec{k} = c \omega^2 / c^2$

$\vec{E}_0(\vec{k}, \omega) \in \mathbb{C}^3$, ist komplexe Amplitudendichte
↳ erlaubt auch Polarisierung

Spektrum

Das für den Menschen sichtbare Spektrum (Licht)

$$c = \lambda f = 2.998 \cdot 10^8 \frac{m}{s}$$

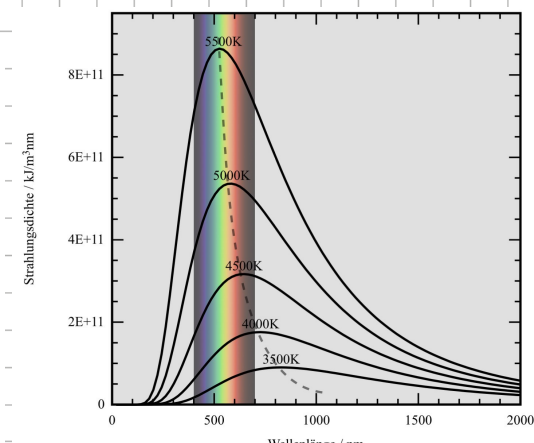


Schwarzer Körper

Ein Schwarzer Körper (auch: Schwarzer Strahler, planckscher Strahler, idealer schwarzer Körper) ist eine idealisierte thermische Strahlungsquelle. Die Idealisierung besteht darin, dass solch ein Körper alle auftreffende elektromagnetische Strahlung jeglicher Wellenlänge vollständig absorbiert, während reale Körper immer einen Teil davon zurückwerfen. Gleichzeitig sendet er als Wärmestrahlung eine elektromagnetische Strahlung aus, deren Intensität und spektrale Verteilung von der weiteren Beschaffenheit des Körpers und seiner Oberfläche unabhängig sind und nur von seiner Temperatur abhängen.

Die Wärmestrahlung des schwarzen Körpers ist in jedem Wellenlängenbereich stärker als die eines jeden realen Körpers gleicher Fläche und gleicher Temperatur. Sie wird Schwarzkörperstrahlung oder aufgrund der Realisierung des schwarzen Körpers durch einen Hohlraum auch Hohlraumstrahlung genannt. In der Literatur des späten 19. und des frühen 20. Jahrhunderts ist die Bezeichnung schwarze Strahlung zu finden.

Der schwarze Körper dient als Grundlage für theoretische Betrachtungen sowie als Referenz für praktische Untersuchungen elektromagnetischer Strahlung. Der Begriff „Schwarzer Körper“ wurde 1860 von Gustav Robert Kirchhoff geprägt.



Wellen in Material

Abschwächung der Feldstärke mit $\vec{E} \sim e^{-\kappa z}$

Abschwächung der Intensität mit $I \sim |\vec{E}|^2 \sim e^{-2\kappa z}$

$$\text{Eindringtiefe: } \delta = \sqrt{\frac{1}{\pi f M_0 \sigma}}$$

ebene linear polarisierte Welle

$$\vec{E}(\vec{r}, t) = \vec{E}_0 \cos(\vec{k} \cdot \vec{r} - \omega t + \phi)$$

$$\vec{B}(\vec{r}, t) = \vec{B}_0 \cos(\vec{k} \cdot \vec{r} - \omega t + \phi)$$

oder in komplexer Schreibweise:

$$\tilde{\vec{E}}(\vec{r}, t) = \vec{E}_0 e^{i(\vec{k} \cdot \vec{r} - \omega t + \phi)}$$

$$\tilde{\vec{B}}(\vec{r}, t) = \vec{B}_0 e^{i(\vec{k} \cdot \vec{r} - \omega t + \phi)}$$

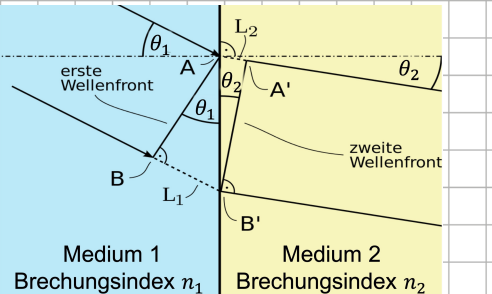
wobei der Realteil die physikalischen Felder zurück liefert

$$\begin{aligned}\vec{B}_0 &= \frac{1}{c} \frac{\vec{k}}{|\vec{k}|} \times \vec{E}_0 \\ |\vec{k}| &= \frac{2\pi}{\lambda} \\ \omega &= \frac{2\pi}{T}\end{aligned}$$

Brechung

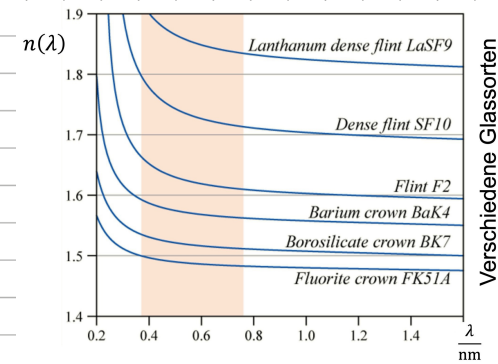
Brechungsgesetz von Snellius:

$$n_1 \sin(\theta_1) = n_2 \sin(\theta_2)$$



Prisma:

wellenlängenabhängiger Brechungsindex $n(\lambda)$

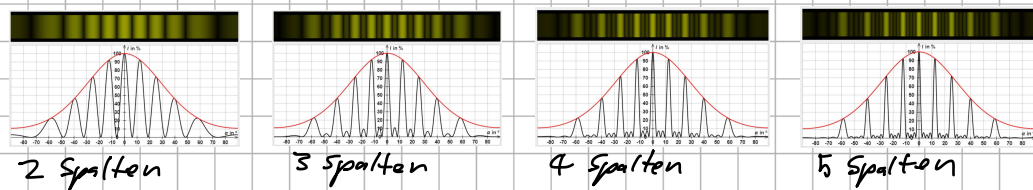


Beugung

Beugung am Spalten

konstruktive Interferenz falls:

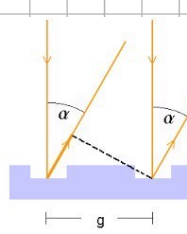
$$\sin(\alpha_k) = \frac{k\lambda}{d}$$



Beugung am Reflexionsgitter

konstruktive Interferenz falls:

$$\sin(\alpha_k) = \frac{k\lambda}{g}$$



Quantenmechanik

Öltröpfchenversuch \rightarrow Quantifizierung der Ladung: Elementarladung $e = 1.6 \cdot 10^{-19} C$

Inputs Schrödingergleichung: potentielle Energie $V(\vec{r})$
Masse m \hookrightarrow z.B. Coulomb-Potenzial für Elektron um Atomkern

$$\text{Planck-Konstante } h = 2\pi\hbar = 6.626 \cdot 10^{-34} \text{ Js}$$

ähnlich wie P kann man aus $\Psi(\vec{r}, t)$ auch weitere Erwartungswerte bestimmen:

- Ort $\langle \vec{r} \rangle$
- Impuls $\langle \vec{p} \rangle$
- kinetische Energie $\langle E_{kin} \rangle$
- potentielle Energie $\langle E_{pot} \rangle$

$$\langle f \rangle = \iiint_V \Psi^* f \Psi dV$$

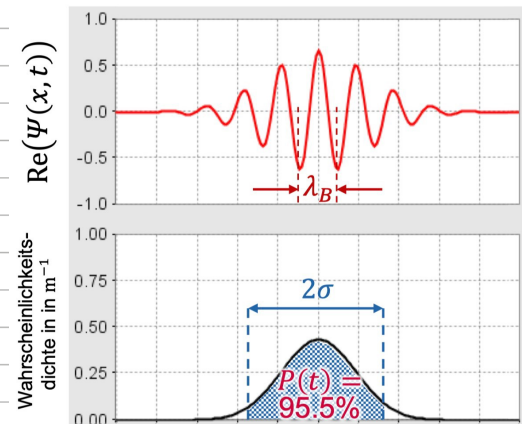
$$\text{De-Broglie-Wellenlänge: } \lambda_B = \frac{h}{p} = \frac{h}{mv} = \frac{h}{\sqrt{2mE_{kin}}}$$

$$\text{mit } E_{kin} = E_{tot} - V$$

Teilchen ist lokalisiert mit Breite σ (= «Streuung»)

Wellenpaket verschiebt sich mit der Zeit (Dispersion!)

bei Messung wird das Teilchen lokalisiert



stark lokalisierte Welle hat breites Frequenzspektrum (\rightarrow Fourier)

\Rightarrow man kann von Teilchen nur entweder den Impuls oder Ort genau kennen

Heisenberg schätzt die Untergrenze qualitativ mit \hbar ab, symbolisch $\Delta x \cdot \Delta p \approx \hbar$

Kennard bewies moderne, formale, rigorose Variante $\Delta x \cdot \Delta p \geq \hbar/2$

Normierungsbedingung für Wellenfunktion eines Teilchens das existiert:

$$\iiint_{-\infty}^{\infty} \rho(\vec{r}, t) d^3 r = \iiint_{-\infty}^{\infty} \Psi^*(\vec{r}, t) \Psi(\vec{r}, t) d^3 r = \iiint_{-\infty}^{\infty} |\Psi(\vec{r}, t)|^2 d^3 r \stackrel{!}{=} 1$$

Teilchen in Kraftfeld

zeitabhängige Schrödingergleichung

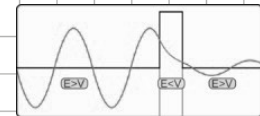
$$i\hbar \frac{\partial}{\partial t} \Psi(\vec{r}, t) = -\frac{\hbar^2}{2m} \Delta \Psi(\vec{r}, t) + V(\vec{r}, t) \Psi(\vec{r}, t) = \hat{H} \Psi(\vec{r}, t)$$

$V = V(\vec{r}, t)$ ist Potenzial (potentielle Energie)

Streuung:

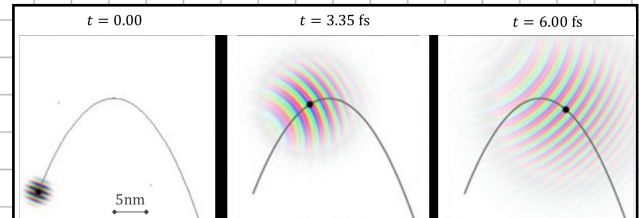
bei Potenzialstufe (Barriere) streut das Teilchen, gibt vorwärts und rückwärts laufende Welle
Teilchen tunneln durch Barriere

wenn Teilchen weniger Energie hat als Barriere, nimmt Wellenfunktion in Barriere exponentiell ab



schräger Wurf eines Elektrons im \vec{E} -Feld:

- Im Schotter ist V kleiner und daher λ_B grösser
- Teilchen versprengt wegen Dispersion
- Phase von Ψ verändert



freies Teilchen

$V = \text{const.}$, normalisierte auf 0 gesetzt resp $V = 0$

Schrödinger-Gleichung für ein freies Teilchen

$$i\hbar \frac{\partial}{\partial t} \Psi(\vec{r}, t) = -\frac{\hbar^2}{2m} \Delta \Psi(\vec{r}, t)$$

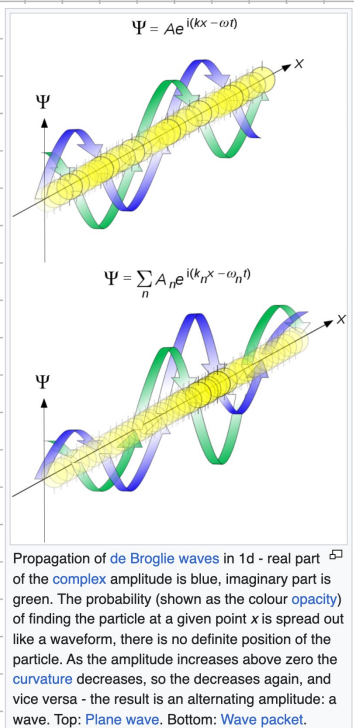
freies Teilchen als ebene Welle mit Impuls \vec{p} resp Wellenvektor \vec{k} bei Kreisfrequenz ω resp. Energie E

$$\Psi(\vec{r}, t) = A e^{i(\vec{k} \cdot \vec{r} - \omega t)} = A e^{i(\vec{p} \cdot \vec{r} - Et)/\hbar}$$

mit $\omega = \begin{cases} \frac{\hbar k^2}{2m} & \text{falls Teilchen Masse } m \text{ hat} \\ kc & \text{falls Teilchen masselos ist} \end{cases}$

wobei $\vec{p} = \hbar \vec{k}$ und $E = \hbar \omega$

erfüllt Schrödinger-Gl.,
aber ist unphysikalisch,
da Norm.b. n. erfüllt
aber Kombination
zu Wellenpaket ist
physikalisch



Normierungsbedingung für Teilchen das existiert:

$$\iiint_{-\infty}^{\infty} |\Psi(\vec{r}, t)|^2 d^3 r = 1$$

→ für ebene Welle nicht erfüllbar, aber für Wellenpaket

Wellenpaket

$$\Psi(\vec{r}, t) = \frac{1}{(4\pi)^{3/2}} \iiint_{-\infty}^{\infty} \hat{\Psi}_0(\vec{k}) e^{i(\vec{k} \cdot \vec{r} - \omega t)} d^3 k \quad \text{mit } \omega = \omega(\vec{k}) = \frac{\hbar k^2}{2m}$$

wobei $\hat{\Psi}_0(\vec{k})$ die Fourier-Transformation von $\Psi_0(\vec{r})$ und $\Psi_0(\vec{r}) = \Psi(\vec{r}, t=0)$ ist

$\hat{\Psi}_0(\vec{k})$ ist sozusagen die Impulswellenfunktion der Ortswellenfunktion $\Psi_0(\vec{r})$ aber geschrieben als Funktion von \vec{k} anstelle von $\vec{p} = \hbar \vec{k}$

falls $\Psi_0(\vec{r})$ kleine Wellenlänge resp. eng gewunden ⇒ \vec{r} resp. \vec{p} gross («hohe Frequenzen»)

stehende Welle

falls $\hat{H} = \frac{\vec{p}^2}{2m} + V(\vec{r}, t) = \frac{-\hbar^2}{2m} \Delta + V(\vec{r}, t)$ von Zeit unabhängig, kann man Ψ unterscheiden:

$$\boxed{\Psi(\vec{r}, t) = \psi(\vec{r}) e^{-i\omega t} \text{ wobei } \omega = \frac{E}{\hbar}} \quad \text{"Energie Eigenzustand" oder auch "stationärer Zustand"}$$

→ stehende Welle welche, sich nicht bewegt, und mit ω in komplexer Ebene schwingt
 $\psi(\vec{r})$ ist „Eigenfunktion“ des \hat{H} zu „Eigenwert“ E

in die zeitabhängige S-G. einsetzen ergibt:

$$\hbar\omega \psi(\vec{r}) e^{-i\omega t} = E \psi(\vec{r}) e^{-i\omega t} = -\frac{\hbar^2}{2m} \Delta \psi(\vec{r}) e^{-i\omega t} + V(\vec{r}) \psi(\vec{r}) e^{-i\omega t} = \left(-\frac{\hbar^2}{2m} \Delta + V(\vec{r}) \right) \psi(\vec{r}) e^{-i\omega t}$$

$$\Rightarrow \underbrace{E}_{\substack{\text{Energie}}} \psi(\vec{r}) = -\frac{\hbar^2}{2m} \Delta \psi(\vec{r}) + V(\vec{r}) \psi(\vec{r}) = \underbrace{\left(-\frac{\hbar^2}{2m} \Delta + V(\vec{r}) \right)}_{\substack{\text{kinetische} \\ \text{potentielle}}} \psi(\vec{r}) = \hat{H} \psi(\vec{r})$$

zeitunabhängige Schrödingergleichung

$$\boxed{E \psi(\vec{r}) = -\frac{\hbar^2}{2m} \Delta \psi(\vec{r}) + V(\vec{r}) \psi(\vec{r})}$$

Lösungen sind Eigenfunktionen (stehende Wellen, nur von Ort abhängig)

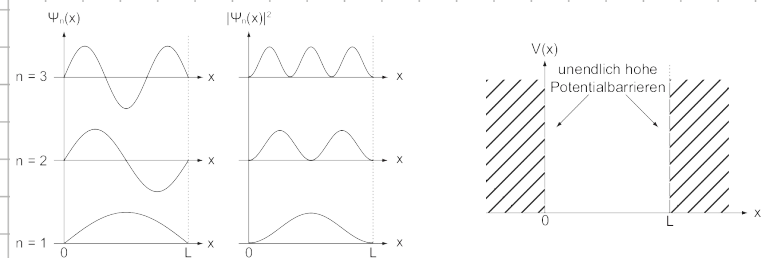
außerdem erhält man die zugehörigen Eigenwerte, welche den Energieniveaus entsprechen

Potenzialtopf (1D):

Teilchen ist getangen \Rightarrow stehende Welle

$$\psi_n(x) = \sqrt{\frac{2}{L}} \sin\left(\frac{n\pi}{L}x\right) \text{ für } 0 < x < L$$

$$E_n = \frac{\hbar^2 n^2}{8mL^2} \quad (\text{kinetische Energie})$$



Wasserstoffatom

da Proton viel schwerer als Elektron \Rightarrow als punktförmige Masse im Ursprung angenommen

$$E_{\text{kin}} = \hat{T} = \frac{\vec{p}^2}{2m} = \frac{(-i\hbar \frac{\partial}{\partial p})^2}{2m} = \frac{-\hbar^2}{2m} \Delta$$

$$E_{\text{pot}} = \hat{V} = \frac{-e^2}{4\pi\epsilon_0 r} \quad (\text{Coulomb-Potenzial})$$

$$\hat{H} = \hat{T} + \hat{V} = -\frac{\hbar^2}{2m} \Delta - \frac{e^2}{4\pi\epsilon_0 r}$$

\rightarrow Energie des e^- im Wasserstoffatom setzt sich aus kinetischer \hat{T} und elektrostatischer potentieller \hat{V} zusammen

Masse Elektron: $m_e = 9.11 \cdot 10^{-31} \text{ kg}$

$$\text{reduzierte Masse des Elektrons: } M = \frac{m_e m_p}{m_e + m_p} = \frac{m_p}{m_e + m_p} m_e$$

einsetzen in t. i. S.E.:

$$E \Psi(\vec{r}) = \left(-\frac{\hbar^2}{2M} \Delta - \frac{e^2}{4\pi\epsilon_0 r} \right) \Psi(\vec{r}) \Leftrightarrow \Delta \Psi(\vec{r}) + \frac{2M}{\hbar^2} \left(\frac{e^2}{4\pi\epsilon_0 r} + E \right) \Psi = 0$$

Schrödinger-Gleichung d. e^- im Wasserstoffatom in Kugelkoordinaten:

$$\underbrace{\frac{\partial^2}{\partial r^2} \Psi + \frac{2}{r} \frac{\partial}{\partial r} \Psi + \frac{1}{r^2} \left(\frac{1}{\sin\theta} \frac{\partial^2}{\partial\theta^2} (\sin\theta \frac{\partial}{\partial\theta} \Psi) + \frac{1}{\sin^2\theta} \frac{\partial^2}{\partial\phi^2} \Psi \right)}{\Delta\Psi(r, \theta, \phi)} + \frac{2M}{\hbar^2} \left(\frac{e^2}{4\pi\epsilon_0 r} + E \right) \Psi = 0$$

Separationsansatz:

Ψ in Produkt von radiusabhängigen Anteil R und einer Kugelflächenfunktion Y zerlegen:

$$\Psi(r, \theta, \phi) = R(r) Y_l^m(\theta, \phi)$$

Lösungen sind gegeben durch

$$\Psi_{nlm}(r, \theta, \phi) = N_{nl} \cdot e^{\frac{-r}{na}} \cdot \left(\frac{2r}{na} \right)^l \cdot L_{n-l-1}^{2l+1} \left(\frac{2r}{na} \right) \cdot Y_l^m(\theta, \phi)$$

mit:

$$a = \frac{\hbar^2}{\mu e^2} \quad \text{Bohr Radius}$$

$$N_{nl} = \sqrt{\left(\frac{z}{na} \right)^3 \frac{(n-l-1)!}{2n(n+l)!}} \quad \text{Normalisierungsfaktor}$$

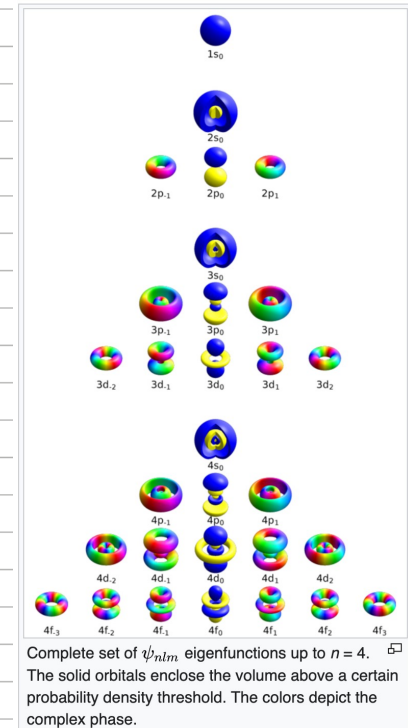
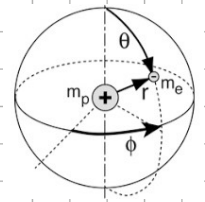
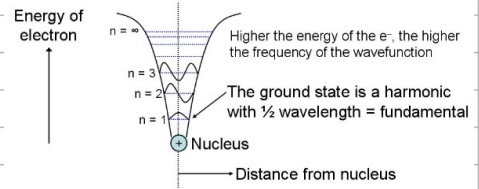
$$L_p^q(x) = \sum_{j=0}^p (-1)^j \frac{((p+q)!)^2}{j!(j+q)!(p-j)!} x^j \quad \text{zugeordnetes Laguerre Polynom}$$

$$Y_l^m(\theta, \phi) = \sqrt{\frac{(2l+1)(l-m)!}{4\pi(l+m)!}} \cdot e^{im\phi} \cdot P_l^m(\cos\theta) \quad \text{Kugelflächenfunktion}$$

$$P_l^m(x) = (-1)^m \cdot 2^l \cdot (1-x^2)^{\frac{m}{2}} \cdot \sum_{k=m}^l \left(\frac{k!}{(k-m)!} \cdot x^{k-m} \cdot \binom{l}{k} \cdot \binom{l+k-1}{l}/2 \right) \quad \text{zugeordnete Legendre Funktion}$$

zugehörige Energie

$$E_n = -\frac{m_e e^4}{2(4\pi\epsilon_0)^2 \hbar^2} \frac{1}{n^2}$$



Complete set of ψ_{nlm} eigenfunctions up to $n=4$.
The solid orbitals enclose the volume above a certain probability density threshold. The colors depict the complex phase.

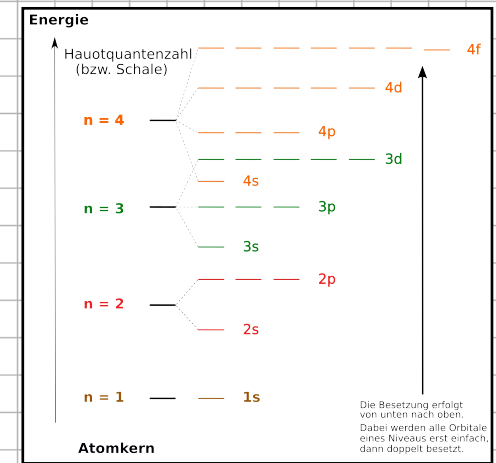
Quantenzahlen

n : Schalennummer ($1, 2, 3, \dots$)

l : Orbitalform ($0 \rightarrow$ Kugel, $1 \rightarrow$ Hantel, $2 \rightarrow$ Rosette, ..., $n-1$)

m : räumliche Lage des Orbitals ($0, \pm 1, \dots, \pm l$)

s : Spin



Pauli-Prinzip

im Grundzustand besetzen e^- (als Fermionen) stets die niedrigsten Energieniveaus (Eigenwerte des Hamilton-Operators)

Zwei e^- stimmen niemals in allen Quantenzahlen überein, müssen also unterschiedlich in Spin unterscheiden

Orbital kann Zwei e^- mit entgegengesetztem (antiparallelem) Spin aufnehmen

Spin

→ formelle Ähnlichkeit zu Drehimpuls der klassischen Mechanik

Teilchen haben Ladung, Masse und Spin
aufgrund des Spins sind Teilchen mit Magnetfeld umgeben

wenn möglich besetzen Teilchen die Zustände paarweise mit entgegengesetztem Spin
→ nach aussen kein Magnetfeld

doch wenn Zustände nicht alle paareweise besetzt werden können gleicht sich Magnetfeld nach aussen oft aus aufgrund der Aufbausicherung des Spins

in äußeren Magnetfeld ist Komponente des Drehimpulses, die in Richtung des Magnetfeldes zeigt quantisiert → ergl wie durch das innere Magnetfeld, es gibt genau 2 Zustände:

- Spin-Up (mit dem äußeren Magnetfeld)
- Spin-Down (gegen das äußere Magnetfeld)

Elektronen sind für magnetische Eigenschaften von Materialien zuständig
gibt Sphärodrehimpuls und Bohrdechirimpuls

Spektrallinien

Licht wird nur bei gewissen Frequenzen emittiert (Emissionslinien) bzw.
absorbiert (Absorptionslinien)

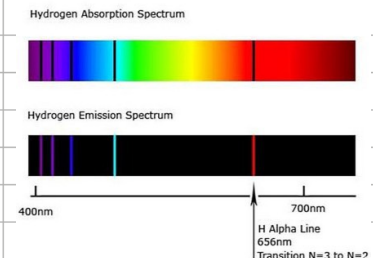
Interpretation:

e^- werden angezogen (in höheren Quantenzustand (höheres Energieniveau)) und
fallen wieder zurück

oft wird bei solchen Quantensprüngen ein Photon emittiert oder absorbiert

$$\text{Photonenergie: } E = hf = h \frac{c}{\lambda} = \hbar \omega$$

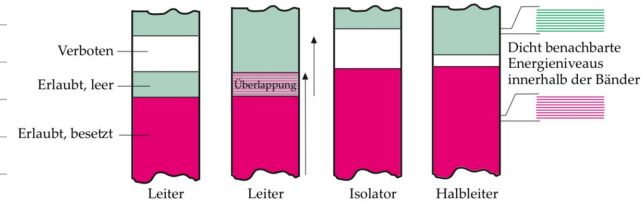
$$\text{Impuls Photon: } p = \frac{h}{\lambda} = h \frac{f}{c} = \hbar k$$



Bändermodell

guten Leiter falls freie Ladungsträger, also Valenzband nur teilweise gefüllt oder überlappend mit dem überliegenden schädigten Leiter falls Valenzband voll und grosse Energielecke zum darüberliegenden

Halbleiter: Bandlücke $E_L < 4 \text{ eV}$

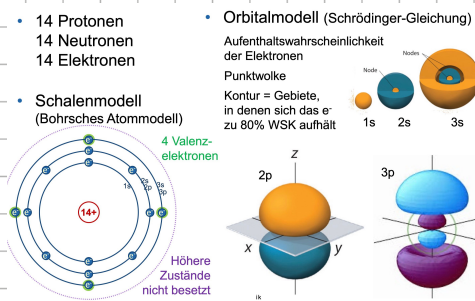
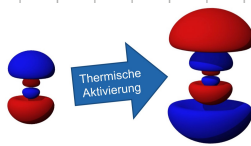


Bandlücke bei $T=300\text{K}$	
Si	$\epsilon_g = 1.12 \text{ eV}$
Ge	$\epsilon_g = 0.67 \text{ eV}$
GaAs	$\epsilon_g = 1.42 \text{ eV}$
InAs	$\epsilon_g = 0.355 \text{ eV}$
GaP	$\epsilon_g = 2.26 \text{ eV}$

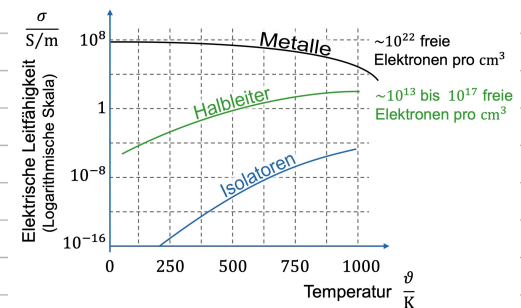
Bandgap Engineering = mit verschiedenen Halbleitermaterialien und Dotierungen abhängig die Bandlücken und das Fermi niveau gezielt verändern

Semiconductor Device Fabrication = daraus mit Mikrostrukturierung die Halbleiterbauteile herstellen

Leitfähigkeit von Halbleitern nimmt bei Erwärmung zu

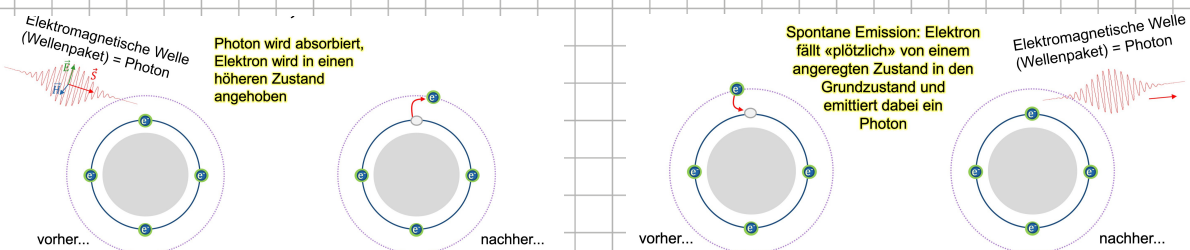


Silizium Atommodell:

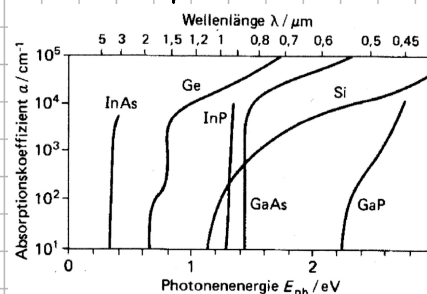


LED: bei Rekombination von Löchern und e^- werden Photonen generiert
→ je nach Halbleiter andere Farbe

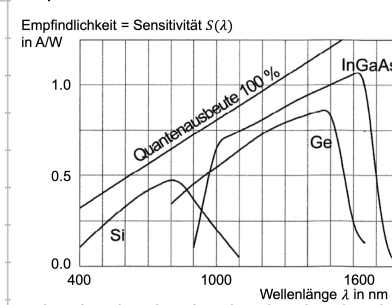
Photon-Elektron Interaktionen



Lichtabsorption Halbleiter



Empfindlichkeit von Fotodioden

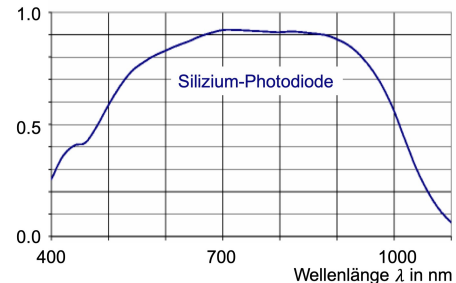


$$\text{Photostrom } I_{ph} = \frac{\Phi_L \cdot e}{\varepsilon_{ph}} \eta(\lambda)$$

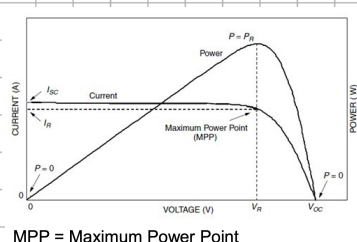
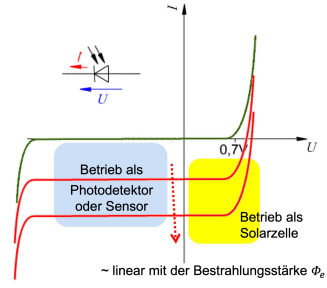
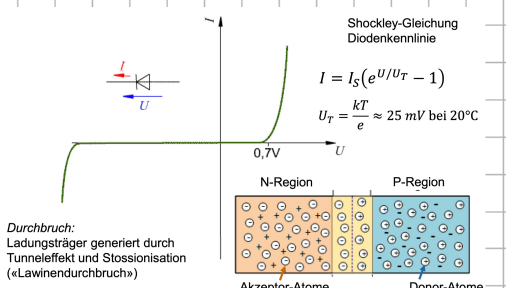
$$\text{Sensitivität } S(\lambda) = \frac{I_{ph}}{\Phi_L}$$

η = Quantenausbeute oder quantum efficiency
 Φ_L = Strahlungsleistung in Watt

Quantenausbeute = quantum efficiency $\eta(\lambda)$ (Einheitenlos)



Diode vs Photodiode/Solarzelle



MPP = Maximum Power Point
Ladelektronik optimiert Strom und Spannung, so dass $P_{MPP} = U_{MPP} \cdot I_{MPP}$ maximal ist.

Kernphysik

starke Wechselwirkung:

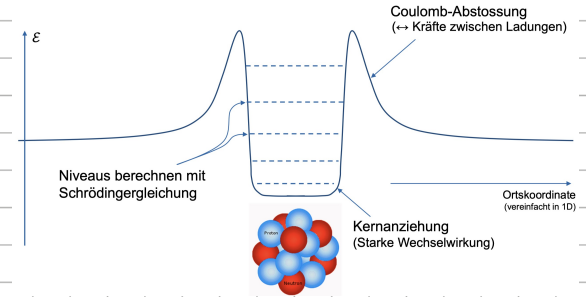
Ausbildung zwischen Nukleonen über Distanzen $\approx 1 \text{ fm}$
 \Rightarrow Gluonen („klebrige Teilchen“)

$$A = N + Z$$

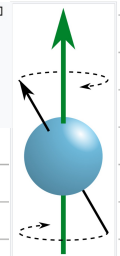
Kernbindungsenergie: $E_b = (Z m_H + N m_n - m_A) c^2$

magnetisches Dipolmoment: $\vec{M} = \gamma \vec{L}$

Larmor-Frequenz: $\omega_0 = \gamma |\vec{B}_0|$



Direction of precession for a particle with positive gyromagnetic ratio. The green arrow indicates the external magnetic field, the black arrow the particle's magnetic dipole moment.

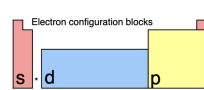


Periodensystem

Group	1
Period	1
1	1.008 1H Hydrogen
2	6.94 2Li Lithium
3	9.0122 3Be Beryllium
4	22.990 4Na Sodium
5	40.078 5Mg Magnesium
6	39.098 6K Potassium
7	87.62 7Rb Rubidium
*	137.33 6Cs Cäsium
*	87.0 7Fr Francium

Periodic Table of the Elements

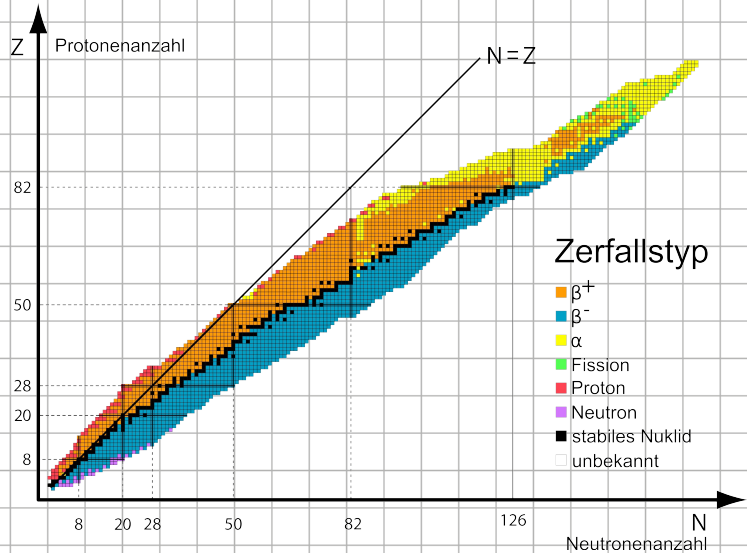
standard atomic weight or most stable mass number	55.845	atomic number
1st ionization energy in kJ/mol	762.5	electronegativity
chemical symbol	Fe	
name	Iron	
electron configuration	[Ar] 3d ⁶ 4s ²	oxidation states most common are bold
radioactive elements have masses in parenthesis		
3	44.956 Sc Scandium	21 47.867 Ti Titanium
4	91.224 Y Yttrium	22 50.942 V Vanadium
5	92.906 Zr Zirconium	23 51.996 Cr Chromium
6	174.97 Lu Lutetium	24 54.938 Mn Manganese
7	187.49 Hf Hafnium	25 55.845 Fe Iron
*	180.95 Ta Tantalum	26 58.933 Co Cobalt
*	183.84 W Tungsten	27 760.4 Ni Nickel
*	186.21 Re Rhenium	28 737.1 Cu Copper
*	190.23 Os Osmium	29 745.5 Zn Zinc
*	192.22 Ir Iridium	30 745.5 Ga Gallium
*	195.08 Pt Platinum	31 757.8 Ge Germanium
*	196.97 Rh Rhodium	32 762.0 As Arsenic
*	197.79 Ag Silver	33 778.5 Se Selenium
*	201.59 Pd Palladium	34 789.71 Br Bromine
*	202.72 In Indium	35 79.904 Kr Krypton
*	208.98 Sn Tin	36 83.798 He Helium
*	209.88 Sb Antimony	18 4.0026 He Helium
*	210.22 Te Tellurium	
*	210.22 I Iodine	
*	210.22 Xe Xenon	
*	210.22 Rn Radon	
*	210.22 Po Polonium	
*	210.22 At Astatine	
*	210.22 Ts Tenesseium	
*	210.22 Mc Moscovium	
*	210.22 Lv Livermorium	
*	210.22 Og Oganesson	



Notes:
- 1 kJ/mol = 0.0103638 eV
- all elements are implied to have an oxidation state of zero.

138.91 La Lanthanum	140.12 Ce Cerium	140.91 Pr Praseodymium	144.24 Nd Neodymium	145.0 Pm Promethium	150.36 Sm Samarium	151.96 Eu Europium	157.25 Gd Gadolinium	158.93 Dy Dysprosium	162.50 Tb Terbium	164.93 Ho Holmium	167.25 Er Erbium	168.93 Tm Thulium	173.05 Yb Ytterbium
138.1 1.10 89 Ac Actinium	134.4 1.12 90 Th Thorium	137.0 1.13 91 Pa Protactinium	133.1 1.14 92 U Uranium	140.4 1.15 93 Np Neptunium	144.5 1.17 94 Pu Plutonium	145.1 1.20 95 Am Americium	147.1 1.20 96 Cm Curium	151.1 1.22 97 Bk Berkelium	156.8 1.23 98 Cf Californium	160.1 1.23 99 Es Einsteinium	165.7 1.24 100 Fm Fermium	170.3 1.25 101 Md Mendelevium	173.4 1.25 102 No Nobelium
138.1 1.10 89 Ac Actinium	137.0 1.30 90 Th Thorium	131.0 1.50 91 Pa Protactinium	129.8 1.38 92 U Uranium	127.7 1.38 93 Np Neptunium	124.4 1.38 94 Pu Plutonium	123.9 1.38 95 Am Americium	124.7 1.38 96 Cm Curium	127.0 1.38 97 Bk Berkelium	131.0 1.38 98 Cf Californium	135.0 1.38 99 Es Einsteinium	139.0 1.38 100 Fm Fermium	142.3 1.38 101 Md Mendelevium	146.3 1.38 102 No Nobelium
138.1 1.10 89 Ac Actinium	137.0 1.30 90 Th Thorium	131.0 1.50 91 Pa Protactinium	129.8 1.38 92 U Uranium	127.7 1.38 93 Np Neptunium	124.4 1.38 94 Pu Plutonium	123.9 1.38 95 Am Americium	124.7 1.38 96 Cm Curium	127.0 1.38 97 Bk Berkelium	131.0 1.38 98 Cf Californium	135.0 1.38 99 Es Einsteinium	139.0 1.38 100 Fm Fermium	142.3 1.38 101 Md Mendelevium	146.3 1.38 102 No Nobelium
138.1 1.10 89 Ac Actinium	137.0 1.30 90 Th Thorium	131.0 1.50 91 Pa Protactinium	129.8 1.38 92 U Uranium	127.7 1.38 93 Np Neptunium	124.4 1.38 94 Pu Plutonium	123.9 1.38 95 Am Americium	124.7 1.38 96 Cm Curium	127.0 1.38 97 Bk Berkelium	131.0 1.38 98 Cf Californium	135.0 1.38 99 Es Einsteinium	139.0 1.38 100 Fm Fermium	142.3 1.38 101 Md Mendelevium	146.3 1.38 102 No Nobelium

Radioaktivität



Bindungsenergie:

$$\Delta E_B = \Delta mc^2 = \sum m_i c^2 - Mc^2$$

Zerfallsart	Merkmale	Beispiele
α -Zerfall	<ul style="list-style-type: none"> Kernumwandlung unter Austritt von α-Teilchen, He Abnahme der Massenzahl A um 4 und der Kernladungszahl Z um 2 Einheiten typisch für radioaktive Elemente mit $A > 209$ und $Z > 83$ 	$\text{U} \rightarrow \text{Th} + \text{He}$ $\text{Th} \rightarrow \text{Ra} + \text{He}$ $\text{Ra} \rightarrow \text{Rn} + \text{He}$ $\text{Po} \rightarrow \text{Pb} + \text{He}$
β^- -Zerfall	<ul style="list-style-type: none"> Kernumwandlung unter Abstrahlung von Elektronen, e^- Umwandlung eines Neutrons in ein Proton und ein Elektron $n \rightarrow p + e^-$ Zunahme der Kernladungszahl Z um 1 Einheit bei konstanter Massenzahl A typisch für radioaktive Elemente mit N/Z oberhalb der Zone der Stabilität (S. 000) 	$I \rightarrow Xe + e^-$ $Ta \rightarrow W + e^-$ $Br \rightarrow Kr + e^-$ $Mg \rightarrow Al + e^-$
β^+ -Zerfall	<ul style="list-style-type: none"> Kernumwandlung unter Emission von Positronen e^+ Umwandlung eines Protons in ein Neutron und ein Positron $p \rightarrow n + e^+$ Abnahme der Kernladungszahl Z um 1 Einheit bei konstanter Massenzahl A typisch für radioaktive Elemente mit N/Z unterhalb der Zone der Stabilität (S. 000) 	$C \rightarrow B + e^+$ $K \rightarrow Ar + e^+$ $Mg \rightarrow Na + e^+$ $O \rightarrow N + e^+$
γ -Zerfall	<ul style="list-style-type: none"> Umwandlung eines Protons durch ein Elektron einer inneren Elektronenschale in ein Neutron $p + e^- \rightarrow n + \gamma$ Kernumwandlung unter Abstrahlung energiereicher Photonen, der γ-Strahlung typisch für fast alle radioaktiven Elemente 	$e + Rb \rightarrow Kr + \gamma$ $e + Ar \rightarrow Cl + \gamma$ $e + Be \rightarrow Li + \gamma$ <p>Bei allen Elektroneneinfangreaktionen wird γ-Strahlung frei.</p>

